# Quantitatives Risikomanagement 1 WS 2025

Univ.-Prof. Dr. Michael Merz Universität Hamburg



Kapitel 2 Risikomaße



# Abschnitt 2.1 Einleitung



#### 2.1 Einleitung

Für die risiko- und wertorientierte Steuerung sowie die geschäftsfeldbezogene Performance-Messung von Unternehmen ist es notwendig, Risiken zu messen und miteinander zu vergleichen. Zum Beispiel ist das Messen und Vergleichen von Risiken zur Beantwortung der folgenden Fragen erforderlich:



- a) In welchen Geschäftsfeldern oder Portfolios sind besonders hohe Risiken vorhanden und wie groß sind diese Risiken?
- b) Welche Geschäftsfelder, Portfolios, Investitionen, Kapitalanlagen usw. sind gemessen an ihrem Risiko besonders profitabel?
- c) Welche Risiken können mit dem zur Verfügung stehenden Risikokapital gezeichnet bzw. welche Investitionen und Kapitalanlagen können mit dem zur Verfügung stehenden Risikokapital getätigt werden?
- d) Wie hoch ist die angemessene Risikoprämie für ein zu versicherndes Risiko oder für eine Investition in eine risikobehaftete Anlage?





#### 2.1 Einleitung

Da man unter einem Risiko die Unsicherheit bzgl. eines zukünftigen Ereignisses versteht (vgl. Definition in Abschnitt 1.1), wird im Quantitativen Risikomanagement ein Risiko zu seiner Quantifizierung als eine (reellwertige) Zufallsvariable

$$X: \Omega \longrightarrow \mathbb{R}, \ \boldsymbol{\omega} \mapsto X(\boldsymbol{\omega})$$

auf einem geeigneten Wahrscheinlichkeitsraum

$$(\Omega,\mathscr{A},\mathbb{P})$$

aufgefasst. Im Quantitativen Risikomanagement wird deshalb eine Zufallsvariable X oft auch als Risiko bezeichnet.

Auf diese Weise ist es möglich Methoden und Resultate der Stochastik zur Modellierung, Quantifizierung und Aggregation von Risiken einzusetzen.

Zum Beispiel ist das folgende Gesetz der großen Zahlen ein solches Resultat:





#### 2.1 Einleitung

# Satz (Gesetz der großen Zahlen)

Es sei  $(X_i)_{i\in\mathbb{N}}$  eine Folge von unabhängigen und identisch-verteilten Zufallsvariablen mit  $\mu=\mathbb{E}[X_i]<\infty$  für  $i\in\mathbb{N}$ . Dann gilt für alle  $\varepsilon>0$ :

$$\left|\lim_{n\to\infty}\mathbb{P}\left(\left|\frac{1}{n}\sum_{i=1}^nX_i-\mu\right|>\varepsilon\right)=0\right|$$

Beweis: Siehe z.B. GEORGII (2002), Seite 117.

Dieses Resultat besagt, dass bei einem großen Portfolio aus *n* unabhängigen und identisch-verteilten Risiken ein Diversifikationseffekt eintritt. D.h. es kommt zu einem Ausgleich von schlechten und guten Risikoverläufen, so dass durch das arithmetische Mittel

$$\frac{1}{n}\sum_{i=1}^{n}X_{i}$$

mit zunehmender Portfoliogröße n die erwartete Einzelschadenhöhe  $\mu = \mathbb{E}[X_i]$  immer besser geschätzt werden kann. Dieser als Ausgleich im Kollektiv bezeichnete Diversifikationseffekt ist z.B. die Grundvoraussetzung für das Funktionieren von Versicherungen.



©2025 M. Merz

#### 2.1 Einleitung

Konvention: Im Folgenden steht ein positives Vorzeichen von *X* stets für einen Verlust und ein negatives Vorzeichen für einen Gewinn.

Das Gefahrenpotential (risk exposure) eines Risikos wird somit durch die Verteilungsfunktion

$$|F_X : \mathbb{R} \longrightarrow [0,1], x \mapsto F_X(x) := \mathbb{P}(X \le x)|$$

der mit dem Risiko assoziierten Zufallsvariable X vollständig erfasst.

Eine Verteilungsfunktion  $F_X$  besitzt stets die folgenden Eigenschaften:

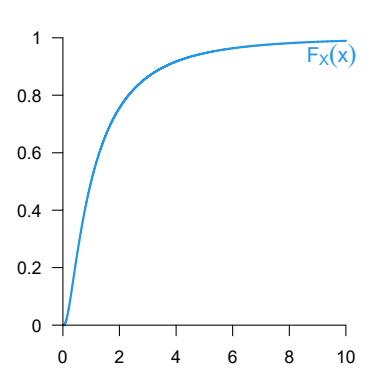
- a)  $\lim_{x \to -\infty} F_X(x) = 0$  und  $\lim_{x \to \infty} F_X(x) = 1$
- b)  $F_X$  ist monoton wachsend, d.h.  $F_X(x_1) \le F_X(x_2)$  für alle  $x_1, x_2 \in \mathbb{R}$  mit  $x_1 \le x_2$
- c)  $F_X$  ist rechtsstetig, d.h.  $\lim_{x\downarrow x_0} F_X(x) = F_X(x_0)$  für alle  $x_0 \in \mathbb{R}$

Die untenstehende Abbildung zeigt den typischen Verlauf einer Verteilungsfunktion im Falle einer (nichtnegativen) stetigen Zufallsvariable *X* (links) bzw. (nichtnegativen) diskreten Zufallsvariable *X* (rechts).

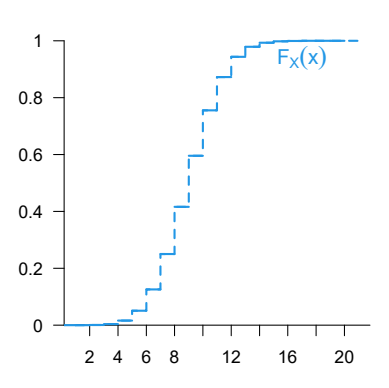


# 2.1 Einleitung





#### **Diskrete Verteilungsfunktion**



#### 2.1 Einleitung

Für einen Vergleich zweier Risiken X und Y sind jedoch deren Verteilungsfunktionen  $F_X$  und  $F_Y$  i.d.R. ungeeignet, da der direkte Vergleich von zwei Verteilungsfunktionen i.d.R. nicht so einfach möglich ist.

Eine Ausnahme liegt jedoch im Falle von stochastischer Dominanz (1. Ordnung) vor:

#### Definition (Stochastische Dominanz)

Das Risiko X dominiert das Risiko Y stochastisch (kurz:  $X \ge_S Y$ ), falls

$$F_X(x) \leq F_Y(x)$$

für alle  $x \in \mathbb{R}$  gilt.

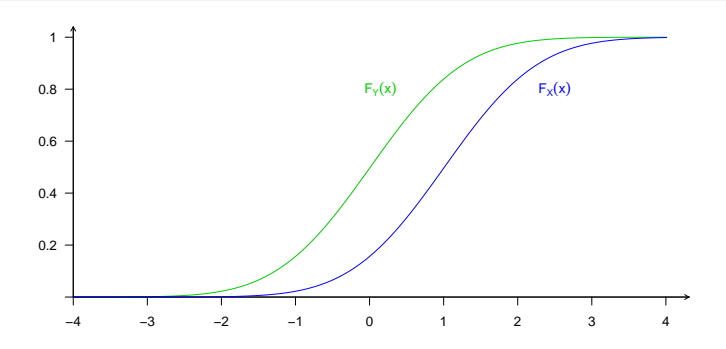
Im Falle von  $X \ge_S Y$  ist Risiko X in dem Sinne risikoreicher als Risiko Y, dass für die Tailwahrscheinlichkeiten

$$\mathbb{P}(X > x) = 1 - F_X(x) \ge 1 - F_Y(x) = \mathbb{P}(Y > x)$$

für alle  $x \in \mathbb{R}$  gilt. D.h. X nimmt Werte größer als  $x \in \mathbb{R}$  mit einer höheren Wahrscheinlichkeit als Y an (vgl. folgende Abbildung).



# 2.1 Einleitung



Zum Beispiel gilt für zwei Zufallsvariablen X und Y mit der Eigenschaft  $X \ge Y$   $\mathbb{P}$ -f.s., also mit der Eigenschaft

$$\mathbb{P}(X \ge Y) = \mathbb{P}(\{\omega \in \Omega : X(\omega) \ge Y(\omega)\}) = 1, \tag{1}$$

die stochastische Dominanz  $X \ge_S Y$ . Denn für ein beliebiges  $x \in \mathbb{R}$  gilt dann

$$F_X(x) = \mathbb{P}(X \le x) \le \mathbb{P}(Y \le x) = F_Y(x)$$

Universität Hamburg

Kapitel 2

und damit  $X \geq_S Y$ .

# 2.1 Einleitung

Die Umkehrung gilt jedoch i.A. nicht. D.h. aus  $X \ge_S Y$  folgt nicht  $X \ge Y \mathbb{P}$ -f.s. Zum Beispiel gilt für

$$X \sim N(1,1)$$
 und  $Y \sim N(0,1)$ 

zwar

$$X \geq_S Y$$

(siehe letzte Abbildung), aber nicht (1) bzw.

$$X \ge Y$$
  $\mathbb{P}$ -f.s.

Das Konzept der stochastischen Dominanz besitzt aber den entscheidenden Nachteil, dass es auf der Menge *M* aller Risiken (Zufallsvariablen) keine vollständige Ordnungsrelation, sondern nur eine (gewöhnliche) Ordnungsrelation ist. D.h. es gilt:

- a)  $X \ge_S X$  für alle  $X \in \mathcal{M}$  (Reflexivität)
- b)  $X \ge_S Y$  und  $Y \ge_S Z \implies X \ge_S Z$  für alle  $X, Y, Z \in \mathcal{M}$  (Transitivität)
- c)  $X >_S Y$  und  $Y >_S X \implies X = Z$   $\mathbb{P}$ -f.s. für alle  $X, Y \in \mathcal{M}$  (Antisymmetrie)

Es gilt aber nicht:

d)  $X >_S Y$  oder  $Y >_S X$  für alle  $X, Y \in \mathcal{M}$  (Vollständigkeit)



# 2.1 Einleitung

D.h. es gibt Risiken, die sich durch das Konzept der stochastischen Dominanz nicht anordnen/vergleichen lassen. Dies ist genau dann der Fall, wenn sich deren Verteilungsfunktionen mindestens einmal schneiden.

Aus diesem Grund ist auch die stochastische Dominanz i.A. kein praktikables Konzept zum Vergleich von Risiken. Zum Vergleich und zur Quantifizierung von Risiken werden deshalb sog. Risikomaße verwendet, wie sie in den folgenden Abschnitten vorgestellt werden.



# Abschnitt 2.2 Kohärente Risikomaße



#### 2.2 Kohärente Risikomaße

Im letzten Abschnitt wurde erläutert, dass für einen Vergleich zweier Risiken X und Y, deren Verteilungsfunktionen  $F_X$  bzw.  $F_Y$  nicht geeignet sind.



Man ist daher an einer reellwertigen Abbildung

$$\rho: \mathscr{M} \longrightarrow \mathbb{R}, X \mapsto \rho(X)$$
 (2)

interessiert, die den betrachteten Risiken  $X \in \mathcal{M}$  jeweils eine Zahl

$$\rho(X) \in \mathbb{R}$$

zuordnet, welche als Maß für das Gefahrenpotential von X interpretiert werden kann. Dies ermöglicht einen einfachen Vergleich der betrachteten Risiken  $X \in \mathcal{M}$  anhand der Werte  $\rho(X) \in \mathbb{R}$ . Solche Abbildungen (2) werden als Risikomaße bezeichnet.

Da hierbei jedoch viele Informationen über ein Risiko X verloren gehen, sollten nur Abbildungen  $\rho$  verwendet werden, die sinnvolle mathematische und ökonomische Eigenschaften aufweisen und die für die jeweilige Anwendung relevanten Informationen aus  $F_X$  extrahieren.



#### 2.2 Kohärente Risikomaße

Bekannte Beispiele für einfache Risikomaße  $\rho: \mathcal{M} \longrightarrow \mathbb{R}, X \mapsto \rho(X)$  sind die Varianz

$$\rho(X) := \operatorname{Var}(X) = \mathbb{E}\left[ (X - \mathbb{E}[X])^2 \right]$$
 (3)

und die Standardabweichung

$$\rho(X) := \sigma(X) := \sqrt{\operatorname{Var}(X)}. \tag{4}$$

Seit den bahnbrechenden Arbeiten des US-amerikanischen Wirtschafts-Nobelpreisträgers H. MARKOWITZ (\*1927) zur Portfoliotheorie sind dies die traditionellen Risikokennziffern in der Ökonomie.



Kapitel 2

Sie besitzen jedoch den großen Nachteil, dass sie bei den Ausprägungen von X nicht zwischen positiven und negativen Abweichungen von  $\mathbb{E}[X]$  unterscheiden. D.h. große Werte von (3) und (4) können nicht als höheres Gefahrenpotential interpretiert werden, sondern können auch auf einer höheren Gewinnchance basieren.



#### 2.2 Kohärente Risikomaße

Folglich quantifizieren Var(X) und  $\sigma(X)$  nicht das für Risikomanager, Investoren, Aufsichtsämter und Ratingagenturen zentrale Downside- oder Shortfall-Risiko, sondern lediglich das Schwankungsverhalten von X um  $\mathbb{E}[X]$ .

Ferner werden durch Var(X) und  $\sigma(X)$  seltene Ereignisse, die erhebliche Auswirkungen auf das Ergebnis haben könnten, möglicherweise bei der Quantifizierung des Risikos nicht ausreichend berücksichtigt.

Von großer Bedeutung ist daher das 1999 von ARTZNER, P., DELBAEN, F., EBER, J.-M. & HEATH, D. in ihrer gemeinsamen Arbeit "Coherent Measures of Risk" mit den Worten



"... these axioms should hold for any risk measure that is to be used to effectively regulate or manage risks."



eingeführte Konzept der kohärenten Risikomaße.



#### Definition (Kohärentes Risikomaß)

Ein Risikomaß  $\rho: \mathcal{M} \longrightarrow \mathbb{R}, X \mapsto \rho(X)$  heißt kohärent, falls es den folgenden vier Axiomen genügt:

(A1) Monotonie, d.h. es gilt

$$\rho(X) \le \rho(Y)$$
 für alle  $X, Y \in \mathcal{M}$  mit  $\mathbb{P}(X \le Y) = 1$ .

(A2) Translationsinvarianz, d.h. es gilt

$$\rho(X+c) = \rho(X) + c$$
 für alle  $X \in \mathcal{M}$  und  $c \in \mathbb{R}$ .

(A3) Positive Homogenität, d.h. es gilt

$$\rho(\lambda X) = \lambda \rho(X)$$
 für alle  $X \in \mathcal{M}$  und  $\lambda > 0$ .

(A4) Subadditivität, d.h. es gilt

$$\rho(X+Y) \le \rho(X) + \rho(Y)$$
 für alle  $X, Y \in \mathcal{M}$ .



©2025 M. Merz

#### 2.2 Kohärente Risikomaße

#### Interpretation der Kohärenz-Axiome:

Monotonie: Führt Y stets zu einem höheren Verlust als X, dann ist Y risikoreicher als X und es wird folglich für Y ein höheres Risikokapital benötigt. Dieses Axiom ist weitgehend unstrittig.

<u>Translationsinvarianz</u>: Erhöht sich das Risiko X um einen deterministischen Wert c, dann erhöht sich auch das benötigte Risikokapital um den Wert c. Dieses Axiom ist ebenfalls weitgehend unstrittig. Insbesondere gilt

$$\rho(X - \rho(X)) = \rho(X) - \rho(X) = 0.$$

<u>Subadditivität:</u> Das für X + Y benötigte Risikokapital ist höchstens so hoch wie die Summe der Risikokapitalien für die Einzelrisiken X und Y. Dieses Axiom ist weitgehend unstrittig. Es soll zum einen Diversifikation belohnen und zum anderen verhindern, dass Unternehmen durch Aufsplittung ihrer Geschäftstätigkeit das benötigte Risikokapital reduzieren können.



#### 2.2 Kohärente Risikomaße

Positive Homogenität: Vervielfacht sich das Risiko X um den Faktor  $\lambda>0$  (z.B. durch Währungsumrechnung), dann vervielfacht sich auch das benötigte Risikokapital um den Faktor  $\lambda$ . Dieses Axiom wird in manchen Anwendungen kritisch gesehen, da Situationen existieren, in denen das benötigte Risikokapital nicht linear mit X ansteigt. Z.B. wird oft argumentiert, dass eine zu hohe Risikokonzentration oftmals zu Liquiditätsproblemen führt und deshalb für große  $\lambda>0$ 

$$\rho(\lambda X) > \lambda \rho(X)$$

gelten sollte.

#### Bemerkungen:

- Ist  $\rho$  das durch die Aufsichtsbehörde vorgegebene Risikomaß, dann stellt  $\rho(X) \in \mathbb{R}$  das benötigte Risikokapital dar, welches das Unternehmen zum Halten des Risikos X nachweisen muss. D.h. das minimale Kapital, welches zum Ausgleichen von möglichen Verlusten im Risiko X benötigt wird.
- In der Literatur hat sich weitgehend die Auffassung durchgesetzt, dass ein Risikomaß das Downside-Risiko messen und kohärent sein sollte. Dabei besitzt die Subadditivität eine zentrale Bedeutung, da sie im Hinblick auf Eigenkapital- und Solvenzanforderungen als "a natural and essential requirement" verstanden wird.



#### 2.2 Kohärente Risikomaße

#### Bemerkungen (Fortsetzung):

- Ein kohärentes Risikomaß besitzt plausible Eigenschaften für die Quantifizierung von Risiken. Daraus folgt jedoch nicht, dass umgekehrt ein kohärentes Risikomaß auch sinnvoll sein muss, wie z.B. das kohärente "Risikomaß"  $\rho(X) := \mathbb{E}[X]$  zeigt.
- In manchen Literaturquellen wird positive Homogenität als  $\rho(\lambda X) = \lambda \rho(X)$  für  $\lambda \ge 0$  definiert. Dies ist jedoch äquivalent zu  $\rho(\lambda X) = \lambda \rho(X)$  für  $\lambda > 0$ . Denn es gilt

$$\rho(0) = \rho(2 \cdot 0) = 2\rho(0)$$

und damit

$$\rho(0)=0 \quad \text{bzw.} \quad \rho(\lambda X)=\lambda \rho(X) \quad \text{für } \lambda \geq 0.$$

D.h. ein positiv homogenes Risikomaß ist stets auch normalisiert. Zusammen mit der Translationsinvarianz impliziert dies

$$\rho(c) = c$$
 für alle  $c \in \mathbb{R}$ .



©2025 M. Merz

#### 2.2 Kohärente Risikomaße

Im folgenden Beispiel wird untersucht, welchen Axiomen das sog. Standardabweichungsprinzip genügt:

#### Beispiel (Eigenschaften des Standardabweichungsprinzips)

Das Standardabweichungsprinzip

$$\rho: \mathscr{M} \longrightarrow \mathbb{R}, X \mapsto \rho(X) = \mathbb{E}[X] + \alpha \sigma(X) \quad \text{mit } \alpha > 0$$

ist translationsinvariant, positiv homogen und subadditiv, aber nicht monoton.

Translationsinvarianz: Es seien  $X \in \mathcal{M}$  und  $c \in \mathbb{R}$ . Dann gilt:

$$\begin{split} \rho(X+c) &= \mathbb{E}[X+c] + \alpha \sigma(X+c) \\ &= \mathbb{E}[X+c] + \alpha \sqrt{\text{Var}(X+c)} \\ &= \mathbb{E}[X] + \alpha \sqrt{\text{Var}(X)} + c = \rho(X) + c \end{split}$$

D.h.  $\rho$  ist translationsinvariant.



# Beispiel (Fortsetzung)

Positive Homogenität: Es seien  $X \in \mathcal{M}$  und  $\lambda > 0$ . Dann gilt:

$$\begin{split} \rho(\lambda X) &= \mathbb{E}[\lambda X] + \alpha \sigma(\lambda X) \\ &= \lambda \mathbb{E}[X] + \lambda \alpha \sqrt{\operatorname{Var}(X)} \\ &= \lambda \left( \mathbb{E}[X] + \alpha \sqrt{\operatorname{Var}(X)} \right) = \lambda \rho(X) \end{split}$$

D.h.  $\rho$  ist positiv homogen.

Subadditivität: Für  $X, Y \in \mathcal{M}$  gilt:

$$Var(X + Y) = Var(X) + Var(Y) + 2Cov(X, Y)$$

$$= Var(X) + Var(Y) + 2Corr(X, Y) \sqrt{Var(X)Var(Y)}$$

$$\leq Var(X) + Var(Y) + 2\sqrt{Var(X)Var(Y)}$$

$$= \left(\sqrt{Var(X)} + \sqrt{Var(Y)}\right)^{2}$$
(5)



#### Beispiel (Fortsetzung)

Damit erhält man:

$$\begin{split} \rho(X+Y) &= \mathbb{E}[X+Y] + \alpha \sigma(X+Y) \\ &= \mathbb{E}[X+Y] + \alpha \sqrt{\text{Var}(X+Y)} \\ &\leq \mathbb{E}[X] + \mathbb{E}[Y] + \alpha \left(\sqrt{\text{Var}(X)} + \sqrt{\text{Var}(Y)}\right) = \rho(X) + \rho(Y) \end{split}$$

D.h.  $\rho$  ist auch subadditiv.

Monotonie: Um Nachzuweisen, dass  $\rho$  kein monotones Risikomaß ist, genügt es ein Gegenbeispiel anzugeben. Hierzu werden die beiden Risiken  $X \sim \mathrm{Ber}(p)$  und Y = 1  $\mathbb{P}$ -f.s. betrachtet. Für diese beiden Risiken gilt offensichtlich

$$Y \ge X$$
  $\mathbb{P}$ -f.s.

und

$$\mathbb{E}[X] = p$$
 und  $\sigma(X) = \sqrt{p(1-p)}$ .



#### Beispiel (Fortsetzung)

Daraus folgt

$$\rho(X) = p + \alpha \sqrt{p(1-p)}$$
 und  $\rho(Y) = 1$ .

Es sei nun  $\alpha = 1$  gewählt. Dann gilt:

$$\rho(X) \begin{cases} = \rho(Y) = 1 & \text{für } p = 0.5 \\ > \rho(Y) = 1 & \text{für } p \in (1/2, 1) \end{cases}$$

Da  $\rho(X) = \rho(Y) = 1$  für p = 0.5 klar ist, bleibt nur  $\rho(X) > \rho(Y) = 1$  für  $p \in (1/2, 1)$  zu zeigen. Hierzu sei  $p = \frac{1}{2} + \varepsilon$  für ein geeignetes  $\varepsilon \in (0, 1/2)$ . Dann folgt:

$$\rho(X) = p + \sqrt{p(1-p)} = \frac{1}{2} + \varepsilon + \sqrt{\left(\frac{1}{2} + \varepsilon\right)\left(\frac{1}{2} - \varepsilon\right)} > \frac{1}{2} + \varepsilon + \sqrt{\left(\frac{1}{2} - \varepsilon\right)^2} = 1.$$

D.h.  $\rho$  ist nicht monoton und damit insbesondere auch kein kohärentes Risikomaß.



©2025 M. Merz • Universität Hamburg • Quantitatives Risikomanagement 1 • Kapitel 2

# Abschnitt 2.3 Konvexe Risikomaße



#### 2.3 Konvexe Risikomaße

Wie im letzten Abschnitt bereits erwähnt, wird häufiger vorgeschlagen das Axiom der positiven Homogenität für große  $\lambda>0$  zugunsten der Eigenschaft

$$\rho(\lambda X) > \lambda \rho(X) \tag{6}$$

zu ersetzen, um so hohe Risikokonzentration zu bestrafen. Da jedoch für ein kohärentes Risikomaß aufgrund der Subadditivität stets

$$\rho(nX) = \rho(X + \ldots + X) \le \rho(X) + \rho((n-1)X)$$

$$\le \rho(X) + \rho(X) + \rho((n-2)X)$$

$$\vdots$$

$$\le n\rho(X) \quad \text{für alle } n \in \mathbb{N}$$

gilt, ist die Eigenschaft (6) innerhalb der Klasse der kohärenten Risikomaße nicht umzusetzen.

Dieser Sachverhalt hat zur Betrachtung der allgemeineren Klasse der konvexen Risikomaße geführt. Bei dieser größeren Klasse von Risikomaßen werden die beiden Axiome "Positive Homogenität" und "Subadditivität" durch das Axiom "Konvexität" ersetzt:

©2025 M. Merz

#### 2.3 Konvexe Risikomaße

#### Definition (Konvexes Risikomaß)

Ein monotones und translationsinvariantes Risikomaß  $\rho: \mathcal{M} \longrightarrow \mathbb{R}$ , das zusätzlich noch die Konvexitätseigenschaft

$$\rho(\lambda X + (1-\lambda)Y) \leq \lambda \rho(X) + (1-\lambda)\rho(Y) \quad \text{für alle } X,Y \in \mathscr{M} \ \text{ und } \ \lambda \in [0,1]$$

besitzt, heißt konvex.

Zwischen kohärenten und konvexen Risikomaßen gilt die folgende Implikation:

# Satz (Kohärenz impliziert Konvexität)

Ein kohärentes Risikomaß  $\rho: \mathscr{M} \longrightarrow \mathbb{R}$  ist auch ein konvexes Risikomaß.

**Beweis:** Aus der Subadditivität und positiven Homogenität eines kohärenten Risikomaßes  $\rho$  folgt für alle  $X, Y \in \mathcal{M}$  und  $\lambda \in [0, 1]$ :

$$\rho(\lambda X + (1-\lambda)Y) \le \rho(\lambda X) + \rho((1-\lambda)Y) = \lambda \rho(X) + (1-\lambda)\rho(Y)$$



©2025 M. Merz

#### 2.3 Konvexe Risikomaße

#### Bemerkungen:

- Innerhalb der Klasse der konvexen Risikomaße gibt es Risikomaße, die eine hohe Risikokonzentration durch  $\rho(\lambda X) > \lambda \rho(X)$  für alle  $\lambda > 1$  bestrafen, also nicht kohärent sind. Wie man nachweisen kann, gilt dies z.B. für das im folgenden Beispiel betrachtete Risikomaß.
- Da der Erwartungswert  $\mathbb{E}[X]$  alle vier Kohärenzaxiome erfüllt, ist er auch ein konvexes "Risikomaß".
- Aufgrund der fehlenden Monotonieeigenschaft ist das Standardabweichungsprinzip auch kein konvexes Risikomaß.

Das folgende Risikomaß ist konvex, aber nicht kohärent:

# Beispiel (Konvexes Risikomaß)

Das folgende Risikomaß ist für alle  $\alpha > 0$  ein konvexes Risikomaß:

$$\rho: \mathcal{M} \longrightarrow \mathbb{R}, X \mapsto \rho(X) = \frac{1}{\alpha} \ln \left( \mathbb{E}\left[e^{\alpha X}\right] \right)$$





#### 2.3 Konvexe Risikomaße

# Beispiel (Konvexes Risikomaß)

Monotonie: Es seien  $X, Y \in \mathcal{M}$  mit  $X \leq Y$   $\mathbb{P}$ -f.s. Da die beiden Funktionen ln und exp streng monoton wachsend sind, folgt daraus

$$\rho(X) = \frac{1}{\alpha} \ln \left( \mathbb{E} \left[ e^{\alpha X} \right] \right) \le \frac{1}{\alpha} \ln \left( \mathbb{E} \left[ e^{\alpha Y} \right] \right) = \rho(Y).$$

D.h.  $\rho$  ist monoton.

Translationsinvarianz: Es seien  $X \in \mathcal{M}$  und  $c \in \mathbb{R}$ . Dann gilt:

$$\rho(X+c) = \frac{1}{\alpha} \ln \left( \mathbb{E}\left[e^{\alpha(X+c)}\right] \right) = \frac{1}{\alpha} \ln \left( \mathbb{E}\left[e^{\alpha X}\right] e^{\alpha c} \right)$$
$$= \frac{1}{\alpha} \ln \left( \mathbb{E}\left[e^{\alpha X}\right] \right) + c = \rho(X) + c$$

D.h.  $\rho$  ist translations invariant.

Konvexität: Zum Nachweis der Konvexität wird die folgende nach dem deutschen Mathematiker Otto L. Hölder (1859–1937) benannte Höldersche Ungleichung benötigt (vgl. BAUER (1998), Seite 85):



#### 2.3 Konvexe Risikomaße

# Beispiel (Fortsetzung)

$$\mathbb{E}[|XY|] \le \left(\mathbb{E}\big[|X|^p\big]\right)^{1/p} \left(\mathbb{E}\big[|Y|^q\big]\right)^{1/q} \quad \text{ für alle } p,q \in [1,\infty] \text{ mit } \frac{1}{p} + \frac{1}{q} = 1$$

Damit erhält man für  $\lambda \in [0,1]$  mit  $p=\frac{1}{\lambda}$  und  $q=\frac{1}{1-\lambda}$ :

$$\begin{split} \rho\left(\lambda X + (1-\lambda)Y\right) &= \frac{1}{\alpha}\ln\left(\mathbb{E}\left[e^{\alpha(\lambda X + (1-\lambda)Y)}\right]\right) \\ &= \frac{1}{\alpha}\ln\left(\mathbb{E}\left[\left(e^{\alpha\lambda X}\right)\left(e^{\alpha(1-\lambda)Y}\right)\right]\right) \\ &\leq \frac{1}{\alpha}\ln\left(\mathbb{E}\left[e^{\alpha\lambda Xp}\right]^{1/p}\mathbb{E}\left[e^{\alpha(1-\lambda)Yq}\right]^{1/q}\right) \\ &= \frac{1}{\alpha}\ln\left(\mathbb{E}\left[e^{\alpha X}\right]^{\lambda}\mathbb{E}\left[e^{\alpha Y}\right]^{1-\lambda}\right) \\ &= \frac{\lambda}{\alpha}\ln\left(\mathbb{E}\left[e^{\alpha X}\right]\right) + \frac{1-\lambda}{\alpha}\ln\left(\mathbb{E}\left[e^{\alpha Y}\right]\right) \\ &= \lambda\rho(X) + (1-\lambda)\rho(Y) \end{split}$$

#### 2.3 Konvexe Risikomaße

#### Beispiel (Fortsetzung)

D.h. das Risikomaß  $\rho$  besitzt auch die Konvexitätseigenschaft und ist damit insgesamt ein konvexes Risikomaß. Es ist jedoch nicht positiv homogen und damit insbesondere nicht kohärent. Denn wegen

$$\rho(\lambda X) = \frac{1}{\alpha} \ln \left( \mathbb{E} \left[ e^{\alpha \lambda X} \right] \right) = \frac{1}{\alpha} \ln \left( \mathbb{E} \left[ \left( e^{\alpha X} \right)^{\lambda} \right] \right)$$

und der Tatsache, dass  $f(x) = x^{\lambda}$  für  $\lambda < 1$  streng konkav und für  $\lambda > 1$  streng konvex ist, folgt mit der Jensenschen Ungleichung (vgl. z.B. IRLE (2001), Seiten 132 - 133)

$$\rho(\lambda X) \begin{cases} <\frac{1}{\alpha} \ln\left(\mathbb{E}\left[\left(e^{\alpha X}\right)\right]^{\lambda}\right) = \lambda \rho(X) & \text{für } \lambda \in (0,1) \\ >\frac{1}{\alpha} \ln\left(\mathbb{E}\left[\left(e^{\alpha X}\right)\right]^{\lambda}\right) = \lambda \rho(X) & \text{für } \lambda > 1 \end{cases}.$$

D.h. bei diesem Risikomaß wächst das Risiko  $\rho(\lambda X)$  für  $\lambda > 1$  stärker als linear. Es wird deshalb häufig im Bankensektor zur Quantifizierung von Konzentrations- und Liquiditätsrisiken eingesetzt.





# Abschnitt 2.4 Value-at-Risk



#### 2.4 Value-at-Risk

Anfang der 90er Jahre schlugen eine Reihe von Finanzinstitutionen (J.P. Morgan, Bankers Trust, ...) mit dem Value-at-Risk (VaR) ein Risikomaß vor, das im Bankensektor schnell zum Standard-Risikomaß wurde. Seine Beliebtheit ist vor allem dadurch begründet, dass es bankenaufsichtsrechtlich (Basel II & III) anerkannt ist. Darüber hinaus ist der Value-at-Risk auch das Standard-Risikomaß im Rahmen von Solvency II.



Der Value-at-Risk zum Sicherheitsniveau  $q \in (0,1)$  beantwortet die Frage:

"Wie groß ist der Verlust, der mit einer Wahrscheinlichkeit von höchstens  $\varepsilon := 1 - q$  überschritten wird?"

Beim Value-at-Risk eines Risikos X zum Sicherheitsniveau  $q \in (0,1)$  handelt es sich um das q-Quantil der Verteilungsfunktion  $F_X$ :



Kapitel 2

#### 2.4 Value-at-Risk

#### Definition (Value-at-Risk)

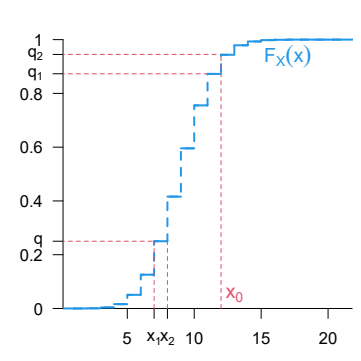
Der Value-at-Risk zum Sicherheitsniveau  $q \in (0,1)$  eines Risikos X ist definiert durch

$$\rho: \mathscr{M} \longrightarrow \mathbb{R}, X \mapsto \mathrm{VaR}_q(X) := \inf_{x \in \mathbb{R}} \{F_X(x) \ge q\}.$$

#### Stetige Verteilungsfunktion

# 

#### Diskrete Verteilungsfunktion



#### 2.4 Value-at-Risk

Aufgrund der Rechtsstetigkeit von  $F_X$  gilt für den Value-at-Risk zum Sicherheitsniveau  $q \in (0,1)$ :

$$\mathbb{P}\big(X < \mathrm{VaR}_q(X)\big) \leq q \leq \underbrace{\mathbb{P}\big(X \leq \mathrm{VaR}_q(X)\big)}_{=F_X\big(\mathrm{VaR}_q(X)\big)} \Longrightarrow \mathbb{P}(X > \mathrm{VaR}_q(X)) = 1 - F_X(\mathrm{VaR}_q(X)) \leq 1 - q = \varepsilon.$$

D.h. die obige verbale Beschreibung des Value-at-Risk zum Sicherheitsniveau  $q \in (0,1)$  ist korrekt.

Bzgl. des Verlauf von  $F_X$  können die folgenden drei Fälle unterschieden werden:

- a)  $F_X$  ist stetig und streng monoton wachsend. Dann gibt es für alle  $q \in (0,1)$  stets genau ein  $x_q$  mit  $F_X(x_q) = q$  und es gilt dann  $\operatorname{VaR}_q(X) = x_q$  (siehe obige Abbildung, links).
- b)  $F_X$  springt an der Stelle  $x_0$  von  $q_1$  auf  $q_2$ . Dann gilt  $VaR_q(X) = x_0$  für alle  $q \in [q_1, q_2]$  (siehe obige Abbildung, rechts).
- c)  $F_X$  ist auf dem Intervall  $[x_1, x_2)$  konstant gleich dem Wert q. Dann gilt  $VaR_q(X) = x_1$  (siehe obige Abbildung, rechts).



#### Bemerkungen:

- In der Praxis liegt das Sicherheitsniveau q i.d.R. zwischen 90% und 99,99%. Zum Beispiel beträgt es 99% bei Basel III und 99,5% bei Solvency II. D.h. durch die risikobasierten Eigenkapitalvorschriften Basel III bzw. die Solvabilitätsvorschriften Solvency II soll jeweils sichergestellt werden, dass das Haftungskapital eines Kreditinstituts bzw. das Solvenzkapital eines Versicherungsunternehmens mit hinreichender Sicherheit ausreicht, nämlich mit einer Wahrscheinlichkeit von 99% bzw. 99,5%, auftretende Verluste aufzufangen.
- Die Value-at-Risks zu den Sicherheitsniveaus 99% und 99,9% werden oft als Jahrhundert- bzw. Jahrtausendereignis bezeichnet. Bei dieser Interpretation ist jedoch Vorsicht geboten, da  $VaR_{99\%}(X)$  und  $VaR_{99.9\%}(X)$  lediglich jeweils die untere Schranke für ein solches Ereignis darstellen.
- Ist  $\varepsilon = 1 q$  die zugelassene Insolvenzwahrscheinlichkeit, dann gibt  $VaR_q(X)$ die Höhe des Sicherheitskapitals an, das mindestens mit der Wahrscheinlichkeit q ausreichend hoch ist.



#### 2.4 Value-at-Risk

#### **Bemerkungen (Fortsetzung):**

- Der Value-at-Risk ist ein monetäres Risikomaß, welches das Downside-Risiko misst und leicht verständlich ist.
- Der Value-at-Risk berücksichtigt das Risikopotential jenseits von  $VaR_a(X)$ nicht. Er sollte daher nur verwendet werden, wenn die Vermeidung der Insolvenz und nicht die Höhe des Ausfalls im Falle einer Insolvenz von Bedeutung ist. Der Value-at-Risk trägt damit vor allem der stark eingeschränkten Haftung der Shareholder und des Managements Rechnung. Für Solvency II und den SST (Schweizer Solvenztest für Versicherungsunternehmen) ist er damit nicht geeignet, da dort der Schutz der Versicherungsnehmer und der Geschädigten im Mittelpunkt steht und somit auch die Höhe des Ausfalls im Falle einer Insolvenz erfasst werden sollte.
- Die meisten Risikomanager und Aktuare vertreten die Meinung, dass zur Bestimmung des benötigten Solvenzkapitals bei Versicherungsunternehmen das Risikomaß Expected Shortfall (vgl. Abschnitt 2.5) besser geeignet ist als der Value-at-Risk



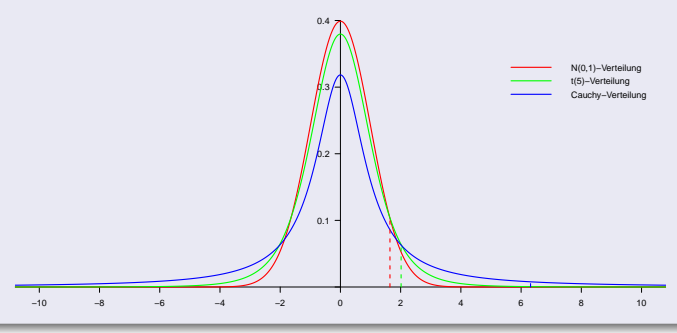
#### 2.4 Value-at-Risk

# Beispiel (Value-at-Risk der N(0,1)-, t(5)- und Cauchy-Verteilung)

Der Value-at-Risk zum Sicherheitsniveau 95% z.B. für die N(0,1)-, t(5)- und Cauchy-Verteilung sind gegeben durch:

	N(0,1)	<i>t</i> (5)	Cauchy
VaR <sub>95%</sub> (X)	1,645	2,015	6,314

VaR<sub>0.95</sub>(X) für drei stetige Verteilungsfunktionen



#### 2.4 Value-at-Risk

# Beispiel (Value-at-Risk der $Par(\alpha, \lambda)$ -Verteilung)

Die Verteilungsfunktion der Par $(\alpha, \lambda)$ -Verteilung mit  $\alpha, \lambda > 0$  ist gegeben durch

$$F_X(x) = \begin{cases} 1 - \left(\frac{\lambda}{\lambda + x}\right)^{\alpha} & \text{für } x \ge 0\\ 0 & \text{sonst} \end{cases}.$$

Da  $F_X$  stetig und streng monoton wachsend ist, erhält man den Value-at-Risk zum Sicherheitsniveau  $q \in (0,1)$  durch Auflösen der Gleichung  $F_X(x_q) = q$  nach x. Dies liefert:

$$x_q = \lambda (1 - q)^{-\frac{1}{\alpha}} - \lambda$$

Der Value-at-Risk einer  $\operatorname{Par}(\alpha,\lambda)$ -Verteilung zum Sicherheitsniveau  $q\in(0,1)$  ist somit gegeben durch

$$VaR_q(X) = \lambda (1 - q)^{-\frac{1}{\alpha}} - \lambda.$$
 (7)

Der Value-at-Risk genügt den folgenden Kohärenzaxiomen:



©2025 M. Merz • Universität Hamburg • Quantitatives Risikomanagement 1 • Kapitel 2

#### 2.4 Value-at-Risk

# Satz (Kohärenzeigenschaften des Value-at-Risk)

Der Value-at-Risk zum Sicherheitsniveau  $q \in (0,1)$  ist monoton, translationsinvariant und positiv homogen.

**Beweis:** Monotonie: Für  $X \ge Y$   $\mathbb{P}$ -f.s. gilt

$$F_X(x) = \mathbb{P}(X \le x) \le \mathbb{P}(Y \le x) = F_Y(x)$$
 für alle  $x \in \mathbb{R}$ .

Daraus folgt jedoch (vgl. vorletzte Abbildung)

$$\operatorname{VaR}_q(X) \geq \operatorname{VaR}_q(Y) \quad \text{ für alle } 0 < q < 1.$$

Translationsinvarianz: Für  $c \in \mathbb{R}$  gilt:

$$F_{X+c}(z) = \mathbb{P}(X+c \le z) = \mathbb{P}(X \le z-c) = F_X(z-c)$$
 für alle  $x \in \mathbb{R}$ .

D.h.  $F_{X+c}(z)$  geht aus  $F_X(z)$  durch Verschieben um c Einheiten nach rechts hervor. Dies impliziert jedoch (vgl. vorletzte Abbildung)

$$\operatorname{VaR}_q(\mathbf{X} + c) = \operatorname{VaR}_q(\mathbf{X}) + c \quad \text{ für alle } 0 < q < 1.$$

Positive Homogenität: Für  $\lambda > 0$  gilt:

$$F_{\lambda X}(z) = \mathbb{P}(\lambda X \leq z) = \mathbb{P}(X \leq z/\lambda) = F_X(z/\lambda) \quad \text{ für alle } x \in \mathbb{R}.$$

D.h.  $F_{\lambda X}(z)$  geht aus  $F_{X}(z)$  durch Skalierung mit dem Faktor  $\lambda$  hervor. Daraus folgt jedoch (vgl. vorletzte Abbildung)

$$\operatorname{VaR}_q(\lambda X) = \lambda \operatorname{VaR}_q(X) \quad \text{ für alle } 0 < q < 1.$$



Kapitel 2

#### 2.4 Value-at-Risk

Das folgende Beispiel aus KLUGMAN ET AL. (2008) zeigt, dass der Value-at-Risk i.A. nicht subadditiv und damit insbesondere auch kein kohärentes Risikomaß ist.

# Beispiel (Fehlende Subadditivität des Value-at-Risk)

Es sei Z eine Zufallsvariable mit streng monoton wachsender und stetiger Verteilungsfunktion  $F_Z$  sowie

$$F_Z(1) = 0.91$$
,  $F_Z(90) = 0.95$  und  $F_Z(100) = 0.96$ .

D.h. es gilt (vgl. vorletzte Abbildung):

$$VaR_{95\%}(Z) = 90$$

Ferner lässt sich Z als Summe Z = X + Y der beiden folgenden Zufallsvariablen darstellen

$$X := \begin{cases} Z & \text{für } Z \le 100 \\ 0 & \text{für } Z > 100 \end{cases} \quad \text{und} \quad Y := \begin{cases} 0 & \text{für } Z \le 100 \\ Z & \text{für } Z > 100 \end{cases}.$$

Dabei gilt für die Verteilungsfunktion von *X*:



#### 2.4 Value-at-Risk

# Beispiel (Forsetzung)

$$F_X(1) = \mathbb{P}(X \le 1) = \mathbb{P}(Z \le 1) + \mathbb{P}(Z > 100) = 0.91 + 0.04 = 0.95$$

$$F_X(90) = \mathbb{P}(X \le 90) = \mathbb{P}(Z \le 90) + \mathbb{P}(Z > 100) = 0.95 + 0.04 = 0.99$$

$$F_X(100) = \mathbb{P}(X \le 100) = \mathbb{P}(Z \le 100) + \mathbb{P}(Z > 100) = 0.96 + 0.04 = 1$$

Für die Verteilungsfunktion von *Y* gilt:

$$F_Y(0) = \mathbb{P}(Y \le 0) = \mathbb{P}(Z \le 100) = F_Z(100) = 0.96$$

Daraus folgt

$$VaR_{95\%}(X) = 1$$
 bzw.  $VaR_{95\%}(Y) \le 0$ 

und somit insbesondere

$$VaR_{95\%}(X+Y) = VaR_{95\%}(Z) = 90 > VaR_{95\%}(X) + VaR_{95\%}(Y).$$

D.h. der Value-at-Risk ist nicht subadditiv und damit insbesondere auch kein kohärentes Risikomaß.



#### 2.4 Value-at-Risk

Generell gilt, dass die Subadditivität des Value-at-Risk im Falle von sehr schiefen Verteilungen, Heavy-Tail-Verteilungen und/oder starker asymmetrischer Abhängigkeiten zwischen den Zufallsvariablen (wie im letzten Beispiel) gefährdet ist.

Zur Modellierung von Renditen oder Risikofaktoren wird häufig die multivariate Normalverteilung (siehe hierzu auch Kapitel 8) verwendet. Der folgende Satz besagt, dass im Falle von normalverteilten Risiken der Value-at-Risk auch subadditiv und damit insbesondere kohärent ist. Genauer gilt:

#### Satz (Kohärenz des Value-at-Risk bei normalverteilten Risiken)

Der n-dimensionale Zufallsvektor  $\mathbf{X}=(X_1,\dots,X_n)^T$  sei multivariat normalverteilt. Dann ist der Value-at-Risk für Sicherheitsniveaus  $q\in[1/2,1)$  bei Risiken aus der Menge

$$\mathcal{M} = \left\{ Y : Y = \alpha_0 + \sum_{i=1}^n \alpha_i X_i \text{ mit } \alpha_i \in \mathbb{R} \right\}$$

ein kohärentes Risikomaß.



#### 2.4 Value-at-Risk

Beweis: Aufgrund des letzten Satzes ist für den Value-at-Risk lediglich noch die Subadditivität für Sicherheitsniveaus  $q \in [1/2, 1)$  nachzuweisen.

Da  $\mathbf{X} = (X_1, \dots, X_n)^T$  multivariat normalverteilt ist, gilt für  $Y \in \mathcal{M}$  entweder  $Y \in \mathbb{R}$  (d.h. Y ist deterministisch) oder Y ist eindimensional normalverteilt (vgl. Kapitel 8). Bezeichnet nun  $\Phi^{-1}(q)$  das q-Quantil der (eindimensionalen) Standardnormalverteilung, dann sind die Value-at-Risks zum Sicherheitsniveau  $q \in (0,1)$  zweier beliebiger Risiken  $Y_1, Y_1 \in \mathcal{M}$  und deren Summe  $Y_1 + Y_2$  gegeben durch (vgl. erstes Beispiel in Abschnitt 2.5)

$$\operatorname{VaR}_q(Y_i) = \mathbb{E}[Y_i] + \sqrt{\operatorname{Var}(Y_i)}\Phi^{-1}(q) \quad \text{für } i = 1,2 \qquad \text{bzw.} \qquad \operatorname{VaR}_q(Y_1 + Y_2) = \mathbb{E}[Y_1 + Y_2] + \sqrt{\operatorname{Var}(Y_1 + Y_2)}\Phi^{-1}(q).$$

Zusammen mit

$$\sqrt{\operatorname{Var}(Y_1 + Y_1)} \le \sqrt{\operatorname{Var}(Y_1)} + \sqrt{\operatorname{Var}(Y_2)}$$

(vgl. (5)) und  $\Phi^{-1}(q) \geq 0$  für  $q \in [1/2,1)$  erhält man daraus

$$\begin{split} & \operatorname{VaR}_q(Y_1 + Y_2) = \mathbb{E}[Y_1 + Y_2] + \sqrt{\operatorname{Var}(Y_1 + Y_2)} \Phi^{-1}(q) \\ & \leq \mathbb{E}[Y_1] + \sqrt{\operatorname{Var}(Y_1)} \Phi^{-1}(q) + \mathbb{E}[Y_2] + \sqrt{\operatorname{Var}(Y_2)} \Phi^{-1}(q) = \operatorname{VaR}_q(Y_1) + \operatorname{VaR}_q(Y_2) \end{split}$$

für  $q \in [1/2, 1)$ . Der Value-at-Risk ist somit für Sicherheitsniveaus  $q \in [1/2, 1)$  und Risiken aus  $\mathcal{M}$  subadditiv und damit insbesondere kohärent.

Dieses Resultat lässt sich noch auf die Klasse der elliptischen Verteilungen (vgl. Kapitel 8) verallgemeinern.



#### 2.4 Value-at-Risk

#### a) Parameterischer VaR-Schätzer:

Annahme: Die Verteilung des betrachteten Risikos X ist durch eine bestimmte parameterische Verteilung gegeben (z.B.  $N(\mu, \sigma^2)$ ), sodass  $F_X$  bis auf einen oder mehrere Parameter vollständig spezifiziert ist. In diesem Fall erhält man einen Schätzer für den Value-at-Risk dadurch, dass in dem Ausdruck für den Value-at-Risk die unbekannten Parameter durch Schätzungen ersetzt werden. Zum Beispiel lautet für  $X \sim N(\mu, \sigma^2)$  der parameterische VaR-Schätzer

$$\widehat{\operatorname{VaR}}_q(X) := \widehat{\mu} + \widehat{\sigma}\Phi^{-1}(q)$$

(vgl. (10)).

# b) Nichtparameterischer VaR-Schätzer:

Annahme: Für die Verteilung des betrachteten Risikos X liegen keine Informationen über eine bestimmte parameterische Verteilung vor. In diesem Fall wird der Value-at-Risk zum Sicherheitsniveau  $q \in (0,1)$  für eine gegebene Stichprobe  $x_1, \dots, x_n$  durch das "kleinste" q-Quantil der empirischen Verteilungsfunktion

$$F_n(x) := \frac{\#\{x_i \le x\}}{n} = \frac{1}{n} \sum_{i=1}^n 1_{(-\infty, x]}(x_i) \quad \text{für } x \in \mathbb{R}$$

geschätzt.



#### 2.4 Value-at-Risk

D.h. der nichtparameterische VaR-Schätzer zum Sicherheitsniveau q ist gegeben durch

$$\widehat{\operatorname{VaR}}_q(X) := \inf_{x \in \mathbb{R}} \{ F_n(x) \ge q \}.$$

Ist zum Beispiel  $x_{(1)} < ... < x_{(1000)}$  eine geordnete Stichprobe, dann würde der Value-at-Risk zum Sicherheitsniveau q = 0.99 durch den elftgrößten x-Wert  $x_{(990)}$  geschätzt werden.

Die Kendall-Formel besagt, dass für den nichtparameterischen VaR-Schätzer  $VaR_a(X)$  unter relativ allgemeinen Annahmen und für hinreichend großes n näherungsweise

$$\widehat{\mathrm{VaR}}_q(X) \sim \mathrm{N}\left(\mathrm{VaR}_q(X), \frac{q(1-q)}{nf_X\big(\mathrm{VaR}_q(X)\big)^2}\right)$$

gilt (vgl. Lehmann (2004)).



# Abschnitt 2.5

Expected-Shortfall und Conditional-Tail-Expectation



# 2.5 Expected-Shortfall und Conditional-Tail-Expectation

Im Vergleich zum Value-at-Risk liefert der Expected-Shortfall bessere Informationen über die Stärke des rechten Tails der Verteilung. D.h. er liefert eine Antwort auf die wichtige Frage:

..How bad is bad?"

#### Definition (Expected-Shortfall)

Der Expected-Shortfall zum Sicherheitsniveau  $q \in (0,1)$  eines Risikos X ist definiert durch

$$\rho: \mathcal{M} \longrightarrow \mathbb{R}, X \mapsto \mathrm{ES}_q(X) := \frac{1}{1-q} \int_q^1 \mathrm{VaR}_u(X) \ du.$$
 (8)

Offensichtlich gilt

$$VaR_q(X) \le ES_q(X). \tag{9}$$

Der Expected-Shortfall macht im Gegensatz zum Value-at-Risk eine Aussage über die Höhe des durchschnittlich zu erwartenden Extremereignisses, falls es zu einem solchen kommt. Neben Expected-Shortfall sind für (8) auch die Bezeichnungen Average Value-at-Risk und Conditional Value-at-Risk gebräuchlich.



©2025 M. Merz

# 2.5 Expected-Shortfall und Conditional-Tail-Expectation

# Beispiel (Value-at-Risk und Expected-Shortfall der N( $\mu$ , $\sigma^2$ )-Verteilung)

Ein normalverteiltes Risiko  $X \sim N(\mu, \sigma^2)$  besitzt die Dichte

$$f_X(x) = \frac{1}{\sqrt{2\pi}\sigma} \exp\left[-\frac{1}{2}\left(\frac{x-\mu}{\sigma}\right)^2\right].$$

Im Folgenden sei  $\phi$  und  $\Phi$  die Dichte bzw. Verteilungsfunktion von  $Z \sim N(0,1)$ . Der Value-at-Risk von Z zum Sicherheitsniveau  $q \in (0,1)$  ist dann gegeben durch

$$VaR_q(Z) = \Phi^{-1}(q)$$

und  $\mu+\sigma Z$  ist wie X auch  $N(\mu,\sigma^2)$ -verteilt. Aus den Eigenschaften Translationsinvarianz und positive Homogenität des Value-at-Risk folgt

$$\begin{aligned} \operatorname{VaR}_q(X) &= \operatorname{VaR}_q(\mu + \sigma Z) \\ &= \mu + \sigma \operatorname{VaR}_q(Z) \\ &= \mu + \sigma \Phi^{-1}(q). \end{aligned} \tag{10}$$



## Beispiel (Fortsetzung)

Für den Expected-Shortfall von X erhält man damit

$$\begin{aligned} \mathrm{ES}_q(X) &= \frac{1}{1-q} \int_q^1 \mathrm{VaR}_u(X) \ du \\ &= \frac{1}{1-q} \int_q^1 \left( \mu + \sigma \Phi^{-1}(u) \right) \ du \\ &= \mu + \frac{\sigma}{1-q} \int_q^1 \Phi^{-1}(u) \ du. \end{aligned}$$



Mit der Substitution  $u = \Phi(x)$  bzw.  $x = \Phi^{-1}(u)$  folgt

$$du = \phi(x) \ dx$$
,  $u_1 = q \longrightarrow x_1 = \Phi^{-1}(q)$  und  $u_2 = 1 \longrightarrow x_2 = \Phi^{-1}(1) = \infty$  und für den Expected-Shortfall gilt somit

$$ES_q(X) = \mu + \frac{\sigma}{1 - a} \int_{\Phi^{-1}(a)}^{\infty} x \phi(x) \ dx.$$



©2025 M. Merz • Universität Hamburg • Quantitatives Risikomanagement 1 • Kapitel 2

# 2.5 Expected-Shortfall und Conditional-Tail-Expectation

#### Beispiel (Fortsetzung)

Mit  $\phi'(x) = -x\phi(x)$  (nachrechnen) folgt daraus weiter

$$\begin{split} \mathrm{ES}_q(X) &= \mu + \frac{\sigma}{1 - q} \int_{\Phi^{-1}(q)}^{\infty} x \phi(x) \, dx \\ &= \mu - \frac{\sigma}{1 - q} \int_{\Phi^{-1}(q)}^{\infty} \phi'(x) \, dx \\ &= \mu - \left( \frac{\sigma}{1 - q} \phi(x) \right) \Big|_{\Phi^{-1}(q)}^{\infty} \\ &= \mu - \left( \frac{\sigma}{1 - q} \phi(\infty) - \frac{\sigma}{1 - q} \phi\left(\Phi^{-1}(q)\right) \right) = \mu + \frac{\sigma}{1 - q} \phi\left(\Phi^{-1}(q)\right). \end{split} \tag{11}$$

D.h. für  $N(\mu,\sigma^2)$ -verteilte Risiken handelt es sich bei  $VaR_q(X)$  und  $ES_q(X)$  um Standardabweichungsprinzipien

$$\rho(X) = \mu + \beta \sigma$$

(vgl. erstes Beispiel in Abschnitt 2.2).



# Beispiel (Expected-Shortfall der Par( $\alpha, \lambda$ )-Verteilung)

Im zweiten Beispiel des Abschnitts 2.4 wurde gezeigt, dass der Value-at-Risk zum Sicherheitsniveau  $q \in (0,1)$  bei einer  $Par(\alpha,\lambda)$ -Verteilung durch

$$VaR_q(X) = \lambda (1 - q)^{-\frac{1}{\alpha}} - \lambda \tag{12}$$

gegeben ist (vgl. (7)). Damit erhält man für den Expected-Shortfall:

$$\begin{aligned} \operatorname{ES}_{q}(X) &= \frac{1}{1 - q} \int_{q}^{1} \operatorname{VaR}_{u}(X) \, du \\ &= \frac{1}{1 - q} \int_{q}^{1} \left( \lambda (1 - u)^{-\frac{1}{\alpha}} - \lambda \right) \, du \\ &= \frac{\lambda}{1 - q} \left( -\frac{\alpha}{\alpha - 1} (1 - u)^{-\frac{1}{\alpha} + 1} \right) \Big|_{q}^{1} - \lambda \\ &= 0 + \frac{\lambda}{1 - q} \left( \frac{\alpha}{\alpha - 1} (1 - q)^{-\frac{1}{\alpha} + 1} \right) - \lambda \end{aligned}$$



#### Beispiel (Fortsetzung)

Mit (12) folgt daraus weiter:

$$\begin{split} \mathrm{ES}_q(X) &= \lambda \left( \frac{\alpha}{\alpha - 1} (1 - q)^{-\frac{1}{\alpha}} \right) - \lambda \\ &= \lambda \left( \frac{(\alpha - 1) + 1}{\alpha - 1} (1 - q)^{-\frac{1}{\alpha}} \right) - \lambda \\ &= \lambda (1 - q)^{-\frac{1}{\alpha}} - \lambda + \frac{\lambda (1 - q)^{-\frac{1}{\alpha}} - \lambda + \lambda}{\alpha - 1} \\ &= \mathrm{VaR}_q(X) + \frac{\mathrm{VaR}_q(X) + \lambda}{\alpha - 1} \end{split}$$

# Beispiel (Value-at-Risk und Expected-Shortfall der LN( $\mu$ , $\sigma^2$ )-Verteilung)

Für die  $LN(\mu, \sigma^2)$ -Verteilung gilt:

$$X \sim \text{LN}(\mu, \sigma^2) \iff Z = \ln(X) \sim \text{N}(\mu, \sigma^2)$$

Aus dem vorletzten Beispiel ist ferner bekannt, dass der Value-at-Risk zum Sicherheitsniveau  $q \in (0,1)$  eines  $\mathrm{N}(\mu,\sigma^2)$ -verteilten Risikos Z durch

$$VaR_q(Z) = \mu + \sigma\Phi^{-1}(q)$$

gegeben ist. Für  $q \in (0,1)$  gilt ferner:

$$\mathbb{P}\big(Z \leq \operatorname{VaR}_q(Z)\big) = q = \mathbb{P}\big(X \leq \operatorname{VaR}_q(X)\big) = \mathbb{P}\big(\ln(X) \leq \ln(\operatorname{VaR}_q(X))\big)$$

Wegen  $ln(X) \sim N(\mu, \sigma^2)$  für  $X \sim LN(\mu, \sigma^2)$  muss somit

$$\ln(\operatorname{VaR}_q(X)) = \mu + \sigma\Phi^{-1}(q)$$
 bzw.  $\operatorname{VaR}_q(X) = e^{\mu + \sigma\Phi^{-1}(q)}$ 

gelten.



## Beispiel (Fortsetzung)

Für den Expected-Shortfall zum Sicherheitsniveau  $q \in (0,1)$  erhält man damit

$$\mathrm{ES}_q(X) = \frac{1}{1-q} \int_q^1 \mathrm{VaR}_u(X) \, du = \frac{1}{1-q} \int_q^1 e^{\mu + \sigma \Phi^{-1}(u)} \, du.$$

Mit der Substitution  $u = \Phi(x)$  bzw.  $x = \Phi^{-1}(u)$  folgt daraus weiter

$$du = \phi(x) dx$$
,  $u = q \longrightarrow x = \Phi^{-1}(q)$  und  $u = 1 \longrightarrow x = \Phi^{-1}(1) = \infty$ ,

wobei  $\phi(x) = \frac{1}{\sqrt{2\pi}}e^{-\frac{1}{2}x^2}$  die Dichte der Standardnormalverteilung ist. Es gilt folglich

$$\begin{split} \mathrm{ES}_q(X) &= \frac{1}{1 - q} \int_q^1 e^{\mu + \sigma \Phi^{-1}(u)} \, du \\ &= \frac{1}{1 - q} \int_{\Phi^{-1}(q)}^{\infty} e^{\mu + \sigma x} \phi(x) \, dx \\ &= \frac{1}{1 - q} e^{\mu + \sigma^2/2} \int_{\Phi^{-1}(q)}^{\infty} \frac{1}{\sqrt{2\pi}} e^{-\frac{1}{2}(x - \sigma)^2} \, dx. \end{split}$$





## 2.5 Expected-Shortfall und Conditional-Tail-Expectation

# Beispiel (Fortsetzung)

Mit der weiteren Substitution  $y := x - \sigma$  bzw.  $x = y + \sigma$  folgt

$$dx = dy$$
,  $x = \Phi^{-1}(q) \longrightarrow y = \Phi^{-1}(q) - \sigma$  und  $x = \infty \longrightarrow y = \infty$ 

und zusammen mit der Symmetrie

$$1 - \Phi(x) = \Phi(-x)$$

der Standardnormalverteilung liefert dies schließlich:

$$ES_{q}(X) = \frac{1}{1 - q} e^{\mu + \sigma^{2}/2} \int_{\Phi^{-1}(q) - \sigma}^{\infty} \frac{1}{\sqrt{2\pi}} e^{-\frac{1}{2}y^{2}} dy$$
$$= \frac{1}{1 - q} e^{\mu + \sigma^{2}/2} \left( 1 - \Phi(\Phi^{-1}(q) - \sigma) \right)$$
$$= \frac{1}{1 - q} e^{\mu + \sigma^{2}/2} \Phi(\sigma - \Phi^{-1}(q))$$



©2025 M. Merz

# 2.5 Expected-Shortfall und Conditional-Tail-Expectation

Der Expected-Shortfall liefert im Gegensatz zum Value-at-Risk nicht nur Informationen über die Stärke des rechten Tails der Verteilung, sondern besitzt zudem den Vorteil, dass er ein kohärentes Risikomaß ist:

#### Satz (Kohärenz des Expected-Shortfall)

Der Expected-Shortfall zum Sicherheitsniveau  $q \in (0,1)$  ist kohärent.

**Beweis:** Monotonie: Es gelte  $X \ge Y$   $\mathbb{P}$ -f.s. Dann folgt aus der Monotonie des Value-at-Risk  $\mathrm{VaR}_q(X) \ge \mathrm{VaR}_q(Y)$ . Dies wiederum impliziert:

$$\mathrm{ES}_q(X) = \frac{1}{1-q} \int_q^1 \mathrm{VaR}_u(X) \, du \ge \frac{1}{1-q} \int_q^1 \mathrm{VaR}_u(Y) \, du = \mathrm{ES}_q(Y)$$

Translations invarianz: Es sei  $c \in \mathbb{R}$ . Aufgrund der Translations invarianz des Value-at-Risk gilt  $\mathrm{VaR}_q(X+c) = \mathrm{VaR}_q(X) + c$ . Daraus folgt:

$$\mathrm{ES}_q(X+c) = \frac{1}{1-q} \int_q^1 \mathrm{VaR}_u(X+c) \, du = \frac{1}{1-q} \int_q^1 \left( \mathrm{VaR}_u(X) + c \right) du = \mathrm{ES}_q(X) + c$$

Positive Homogenität: Es sei  $\lambda > 0$ . Dann folgt aus der positiven Homogenität des Value-at-Risk  $\mathrm{VaR}_q(\lambda X) = \lambda \mathrm{VaR}_q(X)$ . Dies liefert:

$$\mathrm{ES}_q(\lambda X) = \frac{1}{1-q} \int_q^1 \mathrm{VaR}_u(\lambda X) \, du = \frac{1}{1-q} \int_q^1 \lambda \, \mathrm{VaR}_u(X) \, du = \lambda \, \mathrm{ES}_q(X)$$

Für die Eigenschaft der Subadditivität siehe z.B. MCNEIL ET AL. (2005), Seite 243.

Universität Hamburg

©2025 M. Merz •

# 2.5 Expected-Shortfall und Conditional-Tail-Expectation

## Bemerkungen:

- Der Expected-Shortfall gibt Auskunft über die zu erwartende Verlusthöhe der  $(1-q) \cdot 100\%$  schlechtesten Fälle (siehe hierzu auch den übernächsten Satz). Er ist damit stärker auf die Interessen von Aufsichtsämtern, Versicherungsnehmern und Gläubigern ausgerichtet, die nicht nur an der Wahrscheinlichkeit eines Verlusts, sondern auch an dessen erwarteter Höhe interessiert sind.
- Der Expected-Shortfall wird im Vergleich zum Value-at-Risk von vielen Risikomanagern als das bessere Risikomaß angesehen (vor allem in der Versicherungsindustrie).

Kapitel 2

# 2.5 Expected-Shortfall und Conditional-Tail-Expectation

Für den folgenden Satz wird die Zufallsvariable

$$(X-t)_{+} := \max\{X-t, 0\} = \begin{cases} X-t & \text{falls } X \ge t \\ 0 & \text{falls } X < t \end{cases}$$

benötigt. Sie gibt an, um wieviel die Zufallsvariable X den Schwellenwert (Threshold)  $t\in\mathbb{R}$  übersteigt. Ihr Erwartungswert

$$\pi_X(t) := \mathbb{E}[(X-t)_+]$$

wird als Stop-Loss-Transformation bezeichnet. Sie gibt in Abhängigkeit von  $t \in \mathbb{R}$  den erwarteten Überschreitungsbetrag an.

Im Versicherungskontext wird t als Selbstbehalt (Deductible) bezeichnet und die Zufallsvariable (X - t) $_+$  spielt z.B. beim Pricing von Rückversicherungen (z.B. bei der Bestimmung von Stop-Loss-Prämien) eine wichtige Rolle.

Mit der Stop-Loss-Transformation erhält man den folgenden Zusammenhang zwischen Expected-Shortfall und Value-at-Risk:



©2025 M. Merz • Universität Hamburg • Quantitatives Risikomanagement 1 • Kapitel 2

## 2.5 Expected-Shortfall und Conditional-Tail-Expectation

# Satz (Zusammenhang Expected-Shortfall und Value-at-Risk)

Zwischen Expected-Shortfall und Value-at-Risk zum Sicherheitsniveau  $q\in(0,1)$  eines Risikos X besteht der Zusammenhang

$$\mathrm{ES}_q(X) = \mathrm{VaR}_q(X) + \frac{1}{1-q} \pi_X \left( \mathrm{VaR}_q(X) \right).$$

Beweis: Siehe BÄUERLE-MUNDT (2005), Seite 74 in Kombination mit ROCKAFELLAR-URYASEV (2002), 1454 ff.

Das folgende Beispiel zeigt, wie der Value-at-Risk und der Expected-Shortfall für Risiken mit diskreter Verteilung berechnet werden können:

# Beispiel (Value-at-Risk und Expected-Shortfall für diskrete Verteilungen)

Das Risiko X besitze die diskrete Verteilungsfunktion  $F_X$  mit dem Träger

$$\cdots < x_{-2} < x_{-1} < x_0 < x_1 < x_2 \cdots$$

und den Wahrscheinlichkeiten  $\mathbb{P}(X=x_i)=p_i>0$ . Der Value-at-Risk von X zum Sicherheitsniveau  $q\in(0,1)$  ist dann gegeben durch



# Beispiel (Fortsetzung)

$$\begin{aligned} \operatorname{VaR}_{q}(X) &= \inf_{x \in \mathbb{R}} \left\{ F_{X}(x) \geq q \right\} \\ &= \inf_{x \in \mathbb{R}} \left\{ \mathbb{P}(X \leq x) \geq q \right\} = \inf_{x_{k} \in \mathbb{R}} \left\{ \sum_{i = -\infty}^{k} p_{i} \geq q \right\}. \end{aligned}$$

Mit dem letzten Satz folgt daraus für den Expected-Shortfall zum Sicherheitsniveau  $q \in (0,1)$ :

$$\operatorname{ES}_{q}(X) = \operatorname{VaR}_{q}(X) + \frac{1}{1 - q} \pi_{X} \left( \operatorname{VaR}_{q}(X) \right)$$

$$= \operatorname{VaR}_{q}(X) + \frac{1}{1 - q} \mathbb{E} \left[ \max \left\{ X - \operatorname{VaR}_{q}(X), 0 \right\} \right]$$

$$= \operatorname{VaR}_{q}(X) + \frac{1}{1 - q} \sum_{x_{i} > \operatorname{VaR}_{q}(X)} p_{i} \left( x_{i} - \operatorname{VaR}_{q}(X) \right)$$
(13)

# 2.5 Expected-Shortfall und Conditional-Tail-Expectation

Im Falle eines Risikos mit stetiger Verteilungsfunktion gilt:

# Satz (Expected-Shortfall für stetige Verteilungen)

Für den Expected-Shortfall zum Sicherheitsniveau  $q\in(0,1)$  gilt im Falle eines Risikos X mit stetiger Verteilungsfunktion

$$ES_q(X) = \mathbb{E}[X|X > VaR_q(X)].$$
(14)

Beweis: Da  $F_X(x)$  nach Voraussetzung stetig ist, gilt

$$\mathrm{ES}_q(X) = \frac{1}{1-q} \int_q^1 \mathrm{VaR}_u(X) \, du = \frac{1}{\mathbb{P}(X) - \mathrm{VaR}_q(X)} \int_q^1 \mathrm{VaR}_u(X) \, du. \tag{15}$$

Mit der Substitution  $VaR_u(X) = x$  bzw.  $u = F_X(VaR_u(X)) = F_X(x)$  folgt:

$$du = f_X(x) \, dx, \quad u = q \, \longrightarrow \, x = \operatorname{VaR}_q(X) \quad \text{und} \quad u = 1 \, \longrightarrow \, x = \operatorname{VaR}_1(X)$$

Damit erhält man:

$$\mathrm{ES}_q(X) = \frac{1}{\mathbb{P}(X > \mathrm{VaR}_q(X))} \int_{\mathrm{VaR}_q(X)}^{\mathrm{VaR}_1(X)} x f_X(x) \, dx = \int_{\mathrm{VaR}_q(X)}^{\mathrm{VaR}_1(X)} x f_X(x|X > \mathrm{VaR}_q(X)) \, dx = \mathbb{E}[X|X > \mathrm{VaR}_q(X)]$$

**Bemerkung:** Im Falle eines Risikos X mit stetiger Verteilungsfunktion  $F_X$  und Dichtefunktion  $f_X$  gilt somit:

$$\boxed{\operatorname{ES}_q(X) = \int_{\operatorname{VaR}_q(X)}^{\infty} x f_{X|X > \operatorname{VaR}_q(X)}(x) \, dx = \frac{1}{1 - q} \int_{\operatorname{VaR}_q(X)}^{\infty} x f_X(x) \, dx}$$



# 2.5 Expected-Shortfall und Conditional-Tail-Expectation

Das Risikomaß

$$\rho: \mathscr{M} \longrightarrow \mathbb{R}, X \mapsto \mathrm{CTE}_q(X) := \mathbb{E}[X|X > \mathrm{VaR}_q(X)]$$
(16)

wird als Conditional-Tail-Expectation bezeichnet. Es beantwortet die Frage

"Wie hoch ist der zu erwartende Verlust in den 100(1-q)% schlechtesten Fällen?"

Neben Conditional-Tail-Expectation wird für (16) häufig auch die Bezeichnung Tail-Value-at-Risk verwendet.

Gemäß des letzten Satzes stimmen der Conditional-Tail-Expectation und der Expected-Shortfall für Risiken mit stetiger Verteilungsfunktion überein. D.h. der Conditional-Tail-Expectation ist für Risiken mit stetiger Verteilungsfunktion ein kohärentes Risikomaß.

Die Identität  $\mathrm{ES}_q(X)=\mathrm{CTE}_q(X)$  für Risiken mit stetiger Verteilungsfunktion ist auch der Grund dafür, weshalb in der Literatur der Conditional-Tail-Expectation manchmal (fälschlicherweise) als Expected-Shortfall (und umgekehrt) bezeichnet wird.



# 2.5 Expected-Shortfall und Conditional-Tail-Expectation

Im allgemeinen stimmen jedoch Expected-Shortfall und Conditional-Tail-Expectation nicht überein. Denn im Falle von Risiken X mit diskreter Verteilungsfunktion  $F_X$  kann an einer Unstetigkeitstelle  $x_0 = \text{VaR}_q(X)$  von  $F_X$  auch

$$\mathbb{P}\big(X \leq \mathrm{VaR}_q(X)\big) > q \quad \text{bzw.} \quad \mathbb{P}\big(X > \mathrm{VaR}_q(X)\big) < 1 - q$$

gelten (vgl. hierzu auch Abschnitt 2.4). Anstelle von (15) erhält man dann:

$$\operatorname{ES}_{q}(X) = \frac{1}{1 - q} \int_{q}^{1} \operatorname{VaR}_{u}(X) du$$

$$< \frac{1}{\mathbb{P}(X > \operatorname{VaR}_{q}(X))} \int_{q}^{1} \operatorname{VaR}_{u}(X) du$$

$$= \mathbb{E}[X | X > \operatorname{VaR}_{q}(X)]$$

$$= \operatorname{CTE}_{q}(X) \tag{17}$$

D.h. im Allgemeinen gilt nur die Ungleichung:

$$\boxed{\mathrm{ES}_q(X) \le \mathrm{CTE}_q(X)} \tag{18}$$



# 2.5 Expected-Shortfall und Conditional-Tail-Expectation

# a) Parameterischer CTE-Schätzer:

Annahme: Die Verteilung des betrachteten Risikos X ist durch eine bestimmte parameterische Verteilung gegeben (z.B.  $N(\mu, \sigma^2)$ ), sodass  $F_X$  bis auf einen oder mehrere Parameter vollständig spezifiziert ist. In diesem Fall erhält man einen Schätzer für den Conditional-Tail-Expectation dadurch, dass in dem Ausdruck für den Conditional-Tail-Expectation die unbekannten Parameter durch Schätzungen ersetzt werden. Zum Beispiel lautet für  $X \sim N(\mu, \sigma^2)$  der parameterische CTE-Schätzer (vgl. (11) und letzten Satz):

$$\widehat{\mathrm{CTE}}_q(X) = \widehat{\mu} + \frac{\widehat{\sigma}}{1 - q} \phi \Big( \Phi^{-1}(q) \Big)$$

# b) Nichtparameterischer CTE-Schätzer:

Annahme: Für die Verteilung des betrachteten Risikos X liegen keine Informationen über eine bestimmte parameterische Verteilung vor. In diesem Fall kann der Conditional-Tail-Expectation zum Sicherheitsniveau  $q \in (0,1)$  durch den Mittelwert der  $n-\lceil n\cdot q \rceil$  größten Beobachtungen geschätzt werden. D.h. ist  $x_{(1)} \leq \ldots \leq x_{(n)}$  eine geordnete Sichprobe und  $\lceil y \rceil := \min\{k \in \mathbb{N}: k \geq y\}$ , dann ist ein nichtparameterischer CTE-Schätzer zum Sicherheitsniveau  $q \in (0,1)$  gegeben durch

$$\widehat{\text{CTE}}_q(X) = \frac{1}{n - \lceil n \cdot q \rceil} \sum_{i = \lceil n \cdot q \rceil + 1}^{n} x_{(i)}.$$



# Abschnitt 2.6 Distortion-Risikomaße



#### 2.6 Distortion-Risikomaße

Neben der Klasse der kohärenten Risikomaße und der Klasse der konvexen Risikomaße (vgl Abschnitte 2.2 und 2.3) haben sich die 1996 von S. S. WANG eingeführten Distortion-Risikomaße zu einer weiteren bedeutenden Klasse von Risikomaßen entwickelt. Wie sich zeigen wird, ist ein Distortion-Risikomaß unter bestimmten Voraussetzungen kohärent. Darüber hinaus gehören z.B. der Value-at-Risk und der Expected-Shortfall zu dieser Klasse von Risikomaßen.



Ausgangspunkt für die Definition von Distortion-Risikomaßen ist der folgende Satz:

# Satz (Erwartungswert einer nichtnegativen Zufallsvariablen)

Für den Erwartungswert einer nichtnegativen Zufallsvariablen  $\boldsymbol{X}$  gilt

$$\mathbb{E}[X] = \int_0^\infty (1 - F_X(x)) \, dx. \tag{19}$$

Beweis: Durch Vertauschen der Integrationsreihenfolge erhält man

$$\mathbb{E}[X] = \int_0^\infty t \, dF_X(t) = \int_0^\infty \int_0^t dx \, dF_X(t) = \int_0^\infty \int_x^\infty dF_X(t) \, dx = \int_0^\infty \mathbb{P}(X > x) \, dx = \int_0^\infty (1 - F_X(x)) \, dx.$$



#### 2.6 Distortion-Risikomaße

**Bemerkung:** Für eine allgemeine (nicht notwendigerweise nichtnegative) Zufallsvariable X mit  $\mathbb{E}[|X|] < \infty$  gilt:

$$\mathbb{E}[X] = \int_0^\infty (1 - F_X(x)) \, dx - \int_{-\infty}^0 F_X(x) \, dx. \tag{20}$$

Zur Definition von Distortion-Risikomaßen wird das Konzept der "Distortion-Funktion" benötigt, das auf YAARI (1987) zurückgeht:

#### Definition (Distortion-Funktion)

Eine monoton wachsende Funktion

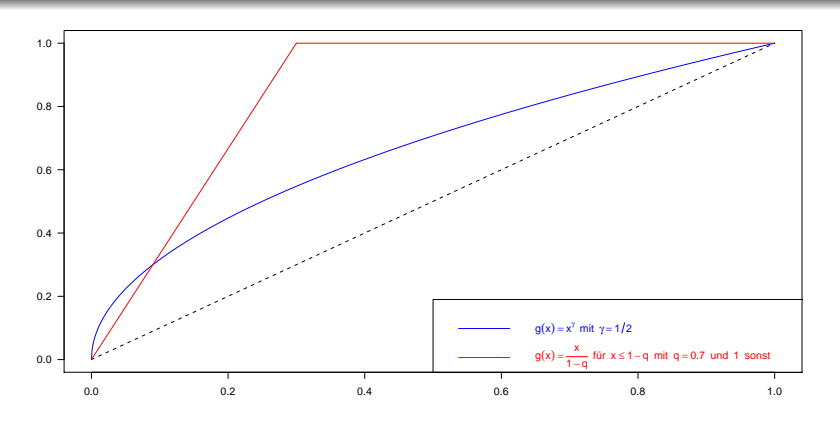
$$g:[0,1] \longrightarrow [0,1]$$
 mit  $g(0) = 0$  und  $g(1) = 1$ 

heißt Distortion-Funktion.

Die folgende Abbildung zeigt zwei typische Distortion-Funktionen:



#### 2.6 Distortion-Risikomaße



Distortion-Risikomaße lassen sich für allgemeine Zufallsvariablen X mit  $\mathbb{E}[|X|] < \infty$  definieren. Im Folgenden werden jedoch Distortion-Risikomaße ausschließlich für nichtnegative Zufallsvariablen X betrachtet. D.h. es wird

$$\mathbb{P}(X \ge 0) = 1$$



#### 2.6 Distortion-Risikomaße

Dies führt zur folgenden Definition:

# Definition (Distortion-Risikomaß)

Es sei X eine nichtnegative Zufallsvariable und g eine Distortion-Funktion. Dann heißt

$$\rho_g: \mathscr{M} \longrightarrow \mathbb{R}, X \mapsto \rho_g(X) = \int_0^\infty g(1 - F_X(x)) dx$$
 (21)

Distortion-Risikomaß bzgl. der Distortion-Funktion g.

Für den Spezialfall g(x) = x resultiert aus (21) der gewöhnliche Erwartungswert

$$\rho_g(X) = \mathbb{E}[X]$$

(vgl. (19)). Für X=0  $\mathbb{P}$ -f.s. gilt  $F_X(x)=1$  für  $x\geq 0$ . Zusammen mit g(0)=0 folgt daraus

$$\rho_g(0) = \int_0^\infty g(0) \, dx = 0.$$

D.h. Distortion-Risikomaße sind stets normalisiert.



## 2.6 Distortion-Risikomaße

## Bemerkungen:

- Für allgemeine (nicht notwendigerweise nichtnegative) Zufallsvariablen X mit  $\mathbb{E}[|X|] < \infty$  lassen sich Distortion-Risikomaße mittels (20) definieren.
- Durch die Distortion-Funktion g werden die Tail-Wahrscheinlichkeiten

$$1 - F_X(x) = \mathbb{P}(X > x)$$

zu

$$g(1-F_X(x))$$

"verzerrt/deformiert" (engl. distorted) bevor der Erwartungswert (21) berechnet wird.

- Anstelle von Distortion-Risikomaß wird für (21) häufig auch die Bezeichnung Wang-Risikomaß verwendet.
- Im Unterschied zur Erwartungsnutzentheorie (vgl. Kapitel 2 im Skript zur Bachelor-Vorlesung "Einführung in das Quantitative Risikomanagement") werden bei der Bestimmung von Distortion-Risikomaßen nicht die Ausprägungen von Risiken/Zufallsvariablen modifiziert, sondern die Wahrscheinlichkeiten für diese Ausprägungen "verzerrt/deformiert".

#### 2.6 Distortion-Risikomaße

Die Funktion

$$1 - g(1 - F_X(x)) \qquad \text{für } x \in \mathbb{R}$$
 (22)

besitzt die folgenden Eigenschaften:

- a) Sie ist monoton wachsend. Denn  $1 F_X(x)$  und 1 g(x) sind monoton fallend.
- b) Sie ist rechtsseitig stetig, falls g zusätzlich stetig ist. Denn  $F_X$  ist als Verteilungsfunktion rechtsseitig stetig und somit auch (22).
- c) Es gilt

$$\lim_{x \to -\infty} \left( 1 - g(1 - F_X(x)) \right) = 0 \quad \text{und} \quad \lim_{x \to \infty} \left( 1 - g(1 - F_X(x)) \right) = 1.$$

 $\implies$  Im Falle einer stetigen Distortion-Funktion g ist (22) die Verteilungsfunktion einer risikoadjustierten Zufallsvariablen  $\widetilde{X}$ . Das Distortion-Risikomaß (21) kann somit als Erwartungswert von  $\widetilde{X}$  mit der "verzerrten/deformierten" Verteilungsfunktion

$$F_{\widetilde{X}}(x) = 1 - g(1 - F_X(x)) \tag{23}$$

aufgefasst werden.



#### 2.6 Distortion-Risikomaße

# Beispiel (Verzerrte Verteilungsfunktion bei exponentieller Distortion-Funktion)

Die Funktion

$$g(x) = \frac{1 - \exp(-\alpha x)}{1 - \exp(-\alpha)} \qquad \text{für } x \in [0, 1] \text{ und } \alpha \in \mathbb{R} \setminus \{0\}$$

besitzt die Eigenschaften g(0) = 0 und g(1) = 1 sowie

$$g'(x) = \frac{\alpha \exp(-\alpha x)}{1 - \exp(-\alpha)} > 0$$

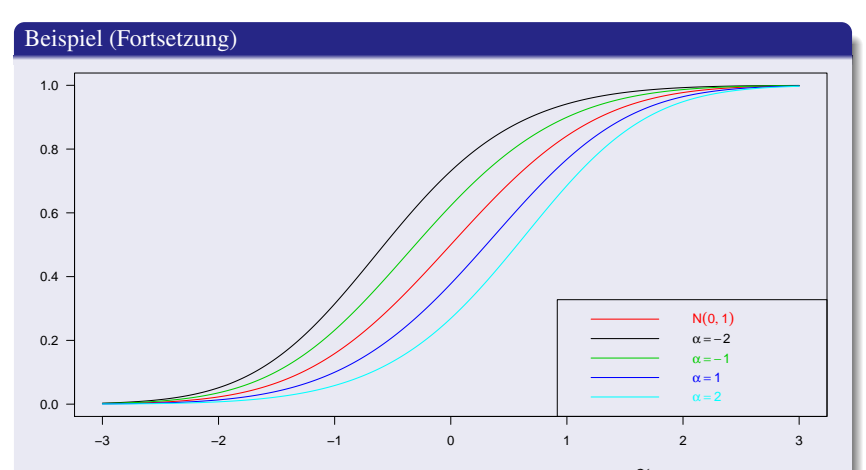
für alle  $\alpha \in \mathbb{R} \setminus \{0\}$ . D.h. g ist für alle  $\alpha \in \mathbb{R} \setminus \{0\}$  eine Distortion-Funktion. Das Distortion-Risikomaß  $\rho_g(X)$  ist der Erwartungswert der risikoadjustierten Zufallsvariablen  $\widetilde{X}$  mit der verzerrten Verteilungsfunktion

$$F_{\widetilde{X}}(x) = 1 - g(1 - F_X(x)) = 1 - \frac{1 - \exp(-\alpha(1 - F_X(x)))}{1 - \exp(-\alpha)}.$$

Die folgende Abbildung zeigt die Verteilungsfunktionen  $F_X$  von  $X \sim N(0,1)$  und  $F_{\widetilde{Y}}$ von  $\widetilde{X}$  für  $\alpha = -2, -1, 1, 2$ .



#### 2.6 Distortion-Risikomaße



Für  $\alpha > 0$  gilt offensichtlich  $F_{\widetilde{X}}(x) \le F_X(x)$  für alle  $x \in \mathbb{R}$  D.h.  $\widetilde{X}$  dominiert X stochastisch (vgl. Abschnitt 2.1) und ist damit risikoreicher als X.



Kapitel 2

#### 2.6 Distortion-Risikomaße

# Beispiel (Distortion-Risikomaß für $X \sim \text{Par}(\alpha, \lambda)$ und $g(x) = x^{\gamma}$ )

Es gelte  $X \sim \operatorname{Par}(\alpha, \lambda)$  mit  $\alpha, \lambda > 0$  sowie  $g(x) = x^{\gamma}$  mit  $\gamma \in (0, 1]$  (vgl. vorletzte Abbildung). Mit der Verteilungsfunktion

$$F_X(x) = \begin{cases} 1 - \left(\frac{\lambda}{\lambda + x}\right)^{\alpha} & \text{für } x > 0\\ 0 & \text{sonst} \end{cases}$$

und (23) erhält man dann

$$F_{\widetilde{X}}(x) = 1 - (1 - F_X(x))^{\gamma} = \begin{cases} 1 - \left(\frac{\lambda}{\lambda + x}\right)^{\gamma \alpha} & \text{für } x > 0 \\ 0 & \text{sonst} \end{cases}.$$

D.h. es gilt  $\widetilde{X} \sim \operatorname{Par}(\gamma \alpha, \lambda)$  und für  $\gamma \in (1/\alpha, 1)$  folgt  $1 < \gamma \alpha < \alpha$  und somit

$$\rho_g(X) = \mathbb{E}[\widetilde{X}] = \frac{\lambda}{\gamma \alpha - 1} > \frac{\lambda}{\alpha - 1} = \mathbb{E}[X]. \tag{24}$$

Die risikoadjustierte Zufallsvariable  $\bar{X}$  ist somit im Vergleich zu X mit einem positiven Sicherheitszuschlag versehen.



©2025 M. Merz • Universität Hamburg • Quantitatives Risikomanagement 1 • Kapitel 2

#### 2.6 Distortion-Risikomaße

Distortion-Risikomaße besitzen die folgende alternative Darstellung:

#### Satz (Alternative Darstellung eines Distortion-Risikomaßes)

Ein Distortion-Risikomaß  $ho_g$  besitzt die alternative Darstellung

$$\rho_g(X) = \int_0^1 \text{VaR}_{1-u}(X) \, dg(u).$$
(25)

Beweis: Durch Vertauschen der Integrationsreihenfolge bei Riemann-Stieltjes-Integralen erhält man

$$\begin{split} \rho_g(X) &= \int_0^\infty g(1-F_X(x))\,dx \\ &= \int_0^\infty \int_0^{1-F_X(x)} dg(u)\,dx \\ &= \int_0^1 \int_0^{\mathrm{VaR}_{1-u}(X)} dx\,dg(u) \\ &= \int_0^1 \mathrm{VaR}_{1-u}(X)\,dg(u). \end{split}$$

Mit Hilfe dieses Resultats lässt sich leicht nachweisen, dass Distortion-Risikomaße die folgenden Kohärenzeigenschaften besitzen:



©2025 M. Merz • Universität Hamburg • Quantitatives Risikomanagement 1 • Kapitel 2

#### 2.6 Distortion-Risikomaße

## Satz (Kohärenzeigenschaften eines Distortion-Risikomaßes)

# Ein Distortion-Risikomaß $\rho_g$ ist monoton, translationsinvariant und positiv homogen.

Beweis: Da der Value-at-Risk monoton, translationsinvariant und positiv homogen ist (vgl. ersten Satz in Abschnitt 2.4) und ein Distortion-Risikomaß gemäß des letzten Satzes eine gewichtete Summe von Value-at-Risks zu verschiedenen Sicherheitsniveaus ist, besitzt auch ein Distortion-Risikomaß diese drei Kohärenzeigenschaften. Gilt zum Beispiel  $X \ge Y$   $\mathbb{P}$ -f.s., dann folgt aus der Monotonie des Value-at-Risk VaR $_q(X) \ge VaR_q(Y)$  für alle  $q \in (0, 1)$ . Dies impliziert unmittelbar

$$\rho_{\boldsymbol{g}}(\boldsymbol{X}) = \int_0^1 \mathrm{VaR}_{1-u}(\boldsymbol{X}) \, d\boldsymbol{g}(\boldsymbol{u}) \geq \int_0^1 \mathrm{VaR}_{1-u}(\boldsymbol{Y}) \, d\boldsymbol{g}(\boldsymbol{u}) = \rho_{\boldsymbol{g}}(\boldsymbol{Y}),$$

also die Monotonie von  $ho_g$ . Analog zeigt man, dass  $ho_g$  auch translationsinvariant und positiv homogen ist.

Das Resultat (24) gilt ganz allgemein für alle Distortion-Risikomaße bzgl. Distortion-Funktionen g mit der Eigenschaft  $g(x) \ge x$  für  $x \in [0,1]$ :

$$\mathbb{E}[\widetilde{X}] = \rho_g(X) = \int_0^\infty g(1 - F_X(x)) \, dx \ge \int_0^\infty (1 - F_X(x)) \, dx = \mathbb{E}[X].$$

D.h. eine Distortion-Funktion g, die stets nicht unter der ersten Winkelhalbierenden h(x) = x liegt, führt zu einem Distortion-Risikomaße mit nichtnegativen Sicherheitszuschlag. Dies ist insbesondere der Fall, wenn g konkav ist, also

$$g''(x) \le 0$$
 für alle  $x \in [0,1]$ 

gilt, falls g zweimal differenenzierbar ist.



#### 2.6 Distortion-Risikomaße

Durch eine konkave Distortion-Funktion *g* wird dem rechten Tail der Verteilung von *X* mehr Wahrscheinlichkeitsmasse zugewiesen. Dieser Ansatz ähnelt der Berechnung von Prämien in der Lebensversicherung, wo aus Sterbetafeln 2. Ordnung (erwartete Sterbewahrscheinlichkeiten) durch Hinzufügen von nichtnegativen Sicherheitszuschlägen konservativere Sterbetafeln 1. Ordnung konstruiert werden.

Der folgende Satz stellt einen Zusammenhang zwischen Distortion-Risikomaßen und kohärenten Risikomaßen her:

# Satz (Kohärenz eines Distortion-Risikomaßes)

Ein Distortion-Risikomaß  $\rho_g$  bzgl. der Distortion-Funktion g ist genau dann subadditiv und damit insbesondere kohärent, wenn g konkav ist.

Beweis: Gemäß des letzten Satzes ist  $\rho_g$  monoton, translationsinvariant und positiv homogen. Es ist daher nur noch nachzuweisen, dass  $\rho_g$  subadditiv ist. Für den Nachweis dieser Eigenschaft siehe z.B. DENUIT ET AL. (2005) Seiten 90–91.

Dieser Satz liefert eine Technik, mit der kohärente Risikomaße konstruiert werden können (siehe hierzu z.B. DELBAEN (2000)).

Im Folgenden wird gezeigt, dass der Value-at-Risk und der Expected-Shortfall zur Klasse der Distortion-Risikomaße gehören, wobei beim Value-at-Risk die Distortion-Funktion g nicht konkav und beim Expected-Shortfall dagegen konkav ist.



## Beispiel (Value-at-Risk ist ein Distortion-Risikomaß)

Der Value-at-Risk zum Sicherheitsniveau  $q \in (0,1)$  ist ein Distortion-Risikomaß zur Distortion-Funktion  $g(x) = 1_{\{1-q \le x \le 1\}}(x)$ . Es gilt:

$$g(1 - F_X(x)) = \begin{cases} 0 & \text{für } 0 \le 1 - F_X(x) < 1 - q \\ 1 & \text{für } 1 - q \le 1 - F_X(x) \le 1 \end{cases}$$

Daraus folgt:

$$\rho_g(X) = \int_0^\infty g(1 - F_X(x)) dx = \int_0^{\text{VaR}_q(X)} 1 dx = \text{VaR}_q(X)$$

Da g nicht konkav ist, ist der Value-at-Risk nicht subadditiv (kohärent).



## Beispiel (Expected-Shortfall ist ein Distortion-Risikomaß)

Der Expected-Shortfall zum Sicherheitsniveau  $q \in (0,1)$  ist ein Distortion-Risikomaß zur Distortion-Funktion  $g(u) = \min \left\{ \frac{u}{1-a}, 1 \right\}$ . Es gilt:

$$g(u) = \begin{cases} \frac{u}{1-q} & \text{für } 0 \le u \le 1 - q\\ 1 & \text{für } 1 - q < u \le 1 \end{cases}$$

Zusammen mit (25) liefert dies:

$$\rho_g(X) = \int_0^1 \text{VaR}_{1-u}(X) \, dg(u)$$

$$= \int_0^{1-q} \text{VaR}_{1-u}(X) \, d\frac{u}{1-q}$$

$$= \frac{1}{1-q} \int_0^{1-q} \text{VaR}_{1-u}(X) \, du$$



#### 2.6 Distortion-Risikomaße

## Beispiel (Fortsetzung)

Mit der Variablentransformation 1 - u = v bzw. u = 1 - v folgt daraus weiter:

$$\rho_g(X) = \frac{1}{1-q} \int_0^{1-q} \operatorname{VaR}_{1-u}(X) du$$

$$= -\frac{1}{1-q} \int_1^q \operatorname{VaR}_{\nu}(X) dv$$

$$= \frac{1}{1-q} \int_q^1 \operatorname{VaR}_{\nu}(X) dv$$

$$= \operatorname{ES}_q(X)$$

Da g konkav ist (vgl. vorletzte Abbildung), ist der Expected-Shortfall subadditiv und kohärent.

In den folgenden drei Beispielen wird gezeigt, wie mittels des letzten Satzes kohärente Risikomaße konstruiert werden können.



#### 2.6 Distortion-Risikomaße

# Beispiel (Distortion-Risikomaß mit exponentieller Distortion-Funktion)

Betrachtet wird wieder die Distortion-Funktion

$$g(x) = \frac{1 - \exp(-\alpha x)}{1 - \exp(-\alpha)} \quad \text{für } x \in [0, 1] \text{ und } \alpha \in \mathbb{R} \setminus \{0\}$$

aus dem ersten Beispiel dieses Abschnitts. Wegen

$$g''(x) = \frac{-\alpha^2 \exp(-\alpha x)}{1 - \exp(-\alpha)} < 0 \quad \text{für } \alpha > 0$$

ist g für alle  $\alpha > 0$  konkav und folglich ist

$$\rho_g(X) = \int_0^\infty \frac{1 - \exp(-\alpha(1 - F_X(x)))}{1 - \exp(-\alpha)} dx$$

für alle  $\alpha > 0$  ein kohärentes Risikomaß.

Zwei ebenfalls bekannte kohärente Distortion-Risikomaße resultieren, wenn als Distortion-Funktion *g* die Wang-Transformation oder die PH-Transformation gewählt wird:



# Beispiel (Distortion-Risikomaße bzgl. der Wang-Transformation)

Die Distortion-Funktion

$$g(x) = \Phi(\Phi^{-1}(x) + \alpha)$$
 mit  $\alpha \in \mathbb{R}$ 

wird als Wang-Transformation bezeichnet. Wie man zeigen kann, gilt  $g''(x) \le 0$  für alle  $\alpha \geq 0$ . D.h. sie ist für  $\alpha \geq 0$  konkav und damit ist

$$\rho_g(X) = \int_0^\infty \Phi(\Phi^{-1}(1 - F_X(x)) + \alpha) dx$$

ein kohärentes Risikomaß für  $\alpha > 0$ . Im Falle einer normal- oder lognormalverteilten Zufallsvariablen X besitzt die risikoadjustierte Zufallsvariable  $\widetilde{X}$  eine Verteilung aus der gleichen Verteilungsfamilie. Für  $X \sim N(\mu, \sigma^2)$  erhält man z.B.

$$F_X(x) = \mathbb{P}(X \le x) = \mathbb{P}\left(\frac{X - \mu}{\sigma} \le \frac{x - \mu}{\sigma}\right) = \Phi\left(\frac{x - \mu}{\sigma}\right)$$

und damit

$$1 - F_X(x) = 1 - \Phi\left(\frac{x - \mu}{\sigma}\right) = \Phi\left(-\frac{x - \mu}{\sigma}\right).$$



## Beispiel (Fortsetzung)

Somit folgt:

$$\begin{split} F_{\widetilde{X}}(x) &= 1 - g(1 - F_X(x)) \\ &= 1 - \Phi\left(\Phi^{-1}\left(\Phi\left(-\frac{x - \mu}{\sigma}\right)\right) + \alpha\right) \\ &= 1 - \Phi\left(\left(-\frac{x - \mu}{\sigma}\right) + \alpha\right) \\ &= 1 - \Phi\left(-\frac{x - (\mu + \alpha\sigma)}{\sigma}\right) \\ &= \Phi\left(\frac{x - (\mu + \alpha\sigma)}{\sigma}\right) \end{split}$$

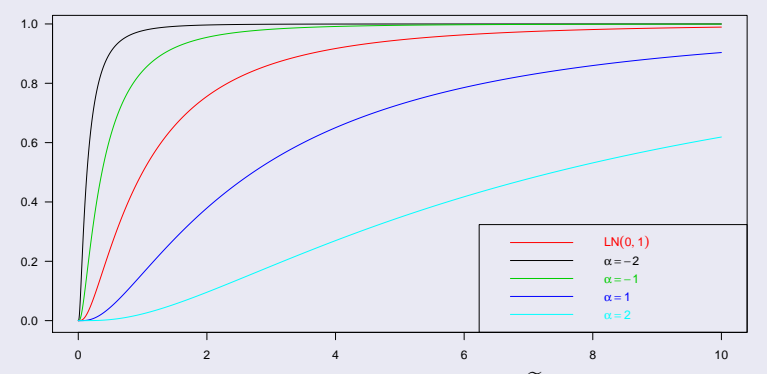
D.h. es gilt  $\widetilde{X} \sim N(\mu + \alpha \sigma, \sigma^2)$  und somit  $\rho_g(X) = \mathbb{E}[\widetilde{X}] = \mu + \alpha \sigma$ .

Gilt  $X \sim \text{LN}(\mu, \sigma^2)$ , dann erhält man weitgehend analog  $\widetilde{X} \sim \text{LN}(\mu + \alpha \sigma, \sigma^2)$  und folglich  $\rho_g(X) = \mathbb{E}[\widetilde{X}] = e^{\mu + \alpha \sigma + \sigma^2/2}$  (siehe Übungsaufgaben).



## Beispiel (Fortsetzung)

Die folgende Abbildung zeigt die Verteilungsfunktionen  $F_X$  von  $X \sim \text{LN}(0,1)$  und  $F_{\widetilde{X}}$  von  $\widetilde{X} \sim \text{LN}(\alpha,1)$  für  $\alpha = -2, -1, 1, 2$ .



Für  $\alpha > 0$  gilt wieder  $F_{\widetilde{X}}(x) \leq F_X(x)$  für alle  $x \in \mathbb{R}$ . D.h.  $\widetilde{X}$  dominiert X stochastisch (vgl. Abschnitt 2.1) und ist damit risikoreicher als X.



## Beispiel (Distortion-Risikomaße bzgl. der PH-Transformation)

Die Distortion-Funktion

$$g(x) = x^{\gamma}$$
 mit  $\gamma \in (0,1]$ 

wird als Proportional Hazard-Transformation (PH-Transformation) bezeichnet. Wie man zeigen kann, gilt  $g''(x) \le 0$  für alle  $\gamma \in (0,1]$ . D.h. sie ist für  $\gamma \in (0,1]$  konkav (vgl. erste Abbildung in diesem Abschnitt) und damit ist

$$\rho_g(X) = \int_0^\infty (1 - F_X(x))^{\gamma} dx$$
 (26)

ein kohärentes Risikomaß.

Wird (26) speziell zur Prämienberechnung eingesetzt, spricht man auch von Proportional Hazard-Prämienprinzip.



# Abschnitt 2.7 Delta-Normal-Methode



#### 2.7 Delta-Normal-Methode

Die Delta-Normal-Methode wurde 1994 von der Investmentbank J.P. MORGAN eingeführt und dient zur Berechnung des Value-at-Risk und Expected-Shortfall eines Portfolios unterschiedlicher Finanztitel.



Betrachtet wird ein Portfolio  $\mathcal{P}$  aus n Finanztiteln (z.B. Aktien, Anleihen, Optionen, Forwards, Futures, Swaps, Währungen) mit den Portfolioanteilen

$$\boldsymbol{\pi}=(\pi_1,\ldots,\pi_n)^T.$$

Die Werte der n Finanztitel im Zeitpunkt t sind gegeben durch die Zufallsvariablen

$$\mathbf{X}(t) = (X_1(t), \dots, X_n(t))^T.$$

Annahme: Die Werte  $X_1(t), \dots, X_n(t)$  hängen von m zufälligen Risikofaktoren

$$\mathbf{Z}(t) = (Z_1(t), \dots, Z_m(t))^T$$

ab (z.B. Zinssatz, Wechselkurs, Aktienkurs, Aktienindex, Rohstoffpreis, Volatilität). D.h. es gilt

$$X_i(t) = f_i(\mathbf{Z}(t))$$
 für  $i = 1, ..., n$ ,

wobei  $f_i : \mathbb{R}^m \longrightarrow \mathbb{R}$  differenzierbare Bewertungsfunktionen sind.



#### 2.7 Delta-Normal-Methode

# Beispiel (Bewertungsfunktion einer europäischen Call-Option)

Der Wert einer europäischen Call-Option zum Zeitpunkt *t* ist im berühmten Black-Scholes-Modell (Wirtschaftsnobelpreis 1997 für M. SCHOLES (\*1941) und R. MERTON (\*1944)) durch



$$X(t) = f(r, \sigma, S_t) := S_t \Phi(d_1) - K \exp(-r(T^* - t)) \Phi(d_2)$$

mit

$$d_1 = \frac{\ln\left(\frac{S_t}{K}\right)}{\sigma\sqrt{T^* - t}} + \frac{\sqrt{T^* - t}}{\sigma}\left(r + \frac{\sigma^2}{2}\right)$$

und

$$d_2 = d_1 - \sigma \sqrt{T^* - t}$$

gegeben, wobei K der Ausübungspreis,  $T^* > t$  der Ausübungszeitpunkt,  $S_t$  der Kurs des Underlyings zum Zeitpunkt t, r der risikolose Zinssatz und  $\sigma$  die Volatilität des Underlyings ist.



#### 2.7 Delta-Normal-Methode

Exkurs: Ein *m*-dimensionaler Zufallsvektor  $\mathbf{X} = (X_1, \dots, X_m)^T$  heißt multivariat normalverteilt (kurz:  $\mathbf{X} \sim \mathrm{N}(\boldsymbol{\mu}, \boldsymbol{\Sigma})$ ), wenn er die Dichte

$$f_{\mathbf{X}}(\mathbf{x}) = \frac{1}{\sqrt{(2\pi)^n \det(\mathbf{\Sigma})}} \exp\left(-\frac{1}{2}(\mathbf{x} - \boldsymbol{\mu})^T \mathbf{\Sigma}^{-1}(\mathbf{x} - \boldsymbol{\mu})\right)$$
(27)

besitzt mit  $\mu \in \mathbb{R}^m$  und einer positiv definiten  $(m \times m)$ -Matrix  $\Sigma$ . Dabei gilt

$$\mathbb{E}[\mathbf{X}] = \boldsymbol{\mu}$$
 und  $\mathrm{Cov}(\mathbf{X}) = \boldsymbol{\Sigma}.$ 

D.h.  $\mu$  und  $\Sigma$  sind der Erwartungswertvektor bzw. die Varianz-Kovarianzmatrix von X. Für die Verteilung der affin-lineare Transformation AX + b gilt dann

$$\mathbf{AX} + \mathbf{b} \sim \mathcal{N}(\mathbf{A}\boldsymbol{\mu} + \mathbf{b}, \mathbf{A}\boldsymbol{\Sigma}\mathbf{A}^T)$$
 (28)

(vgl. Kapitel 8). D.h. die affin-lineare Transformation  $\mathbf{AX} + \mathbf{b}$  eines multivariat normalverteilten Zufallsvektors  $\mathbf{X}$  ist wieder multivariat normalverteilt und die beiden Parameter  $\boldsymbol{\mu}$  und  $\boldsymbol{\Sigma}$  verändern sich zu  $\mathbf{A}\boldsymbol{\mu} + \mathbf{b}$  bzw.  $\mathbf{A}\boldsymbol{\Sigma}\mathbf{A}^T$ . Dieser Sachverhalt wird bei der im Folgenden dargestellten Delta-Normal-Methode mehrfach ausgenutzt.



©2025 M. Merz • Universität Hamburg • Quantitatives Risikomanagement 1 • Kapitel 2

## 2.7 Delta-Normal-Methode

Die Delta-Normal-Methode basiert auf den beiden folgenden zentralen Annahmen:

1) Für den Vektor  $\Delta \mathbf{Z} := (\Delta Z_1, \dots, \Delta Z_m)^T$  bestehend aus den Wertveränderungen

$$\Delta Z_k := Z_k(T) - Z_k(0)$$

der m Risikofaktoren im Zeitraum [0,T] gilt:

$$\Delta \mathbf{Z} \sim \mathrm{N}(T\boldsymbol{\mu}, T\boldsymbol{\Sigma})$$

Die Wertveränderungen

$$\Delta X_i := X_i(T) - X_i(0) = f_i(\mathbf{Z}(T)) - f_i(\mathbf{Z}(0))$$

der n Finanztitel im Zeitraum [0,T] können durch eine Taylor-Entwicklung 1. Ordnung um  $\mathbf{Z}(0)$  approximiert werden:

Sensitivität

$$\Delta X_{i} = f_{i}(\mathbf{Z}(0) + \Delta \mathbf{Z}) - f_{i}(\mathbf{Z}(0))$$

$$\approx \operatorname{grad} f_{i}(\mathbf{Z}(0)) \Delta \mathbf{Z}$$

$$= \sum_{k=1}^{m} \underbrace{\frac{\partial f_{i}(\mathbf{Z}(0))}{\partial Z_{k}}}_{\text{Delta}} \cdot \underbrace{\Delta Z_{k}}_{\text{Delta}}$$
(29)



#### 2.7 Delta-Normal-Methode

Für  $\Delta \mathbf{X} := (\Delta X_1, \dots, \Delta X_n)^T$  liefert dies die Approximation

$$\Delta \mathbf{X} \approx \mathbf{J}_f(\mathbf{Z}(0)) \Delta \mathbf{Z}$$

mit der Jacobi-Matrix (Fundamental-Matrix)



$$\mathbf{J}_{f}(\mathbf{Z}(0)) = \begin{pmatrix} \operatorname{grad} f_{1}(\mathbf{Z}(0)) \\ \vdots \\ \operatorname{grad} f_{n}(\mathbf{Z}(0)) \end{pmatrix} = \begin{pmatrix} \frac{\partial f_{1}(\mathbf{Z}(0))}{\partial Z_{1}} & \cdots & \frac{\partial f_{1}(\mathbf{Z}(0))}{\partial Z_{m}} \\ \vdots & \ddots & \vdots \\ \frac{\partial f_{n}(\mathbf{Z}(0))}{\partial Z_{1}} & \cdots & \frac{\partial f_{n}(\mathbf{Z}(0))}{\partial Z_{m}} \end{pmatrix}.$$

Mit (28) liefert dies für die Verteilung des Vektors  $\Delta X$ :

$$\Delta \mathbf{X} \sim \mathbf{N} \Big( T \mathbf{J}_f \big( \mathbf{Z}(0) \big) \boldsymbol{\mu}, T \mathbf{J}_f \big( \mathbf{Z}(0) \big) \boldsymbol{\Sigma} \mathbf{J}_f \big( \mathbf{Z}(0) \big)^T \Big)$$
(30)

Die Wertveränderung des gesamten Portfolios  $\mathscr{P}$  im Zeitraum [0,T] beträgt

$$\boldsymbol{\pi}^T \Delta \mathbf{X} = \sum_{k=1}^n \Delta X_k \pi_k.$$



#### 2.7 Delta-Normal-Methode

Erneute Anwendung von (28) liefert die Verteilung von  $\pi^T \Delta X$ :

$$\boldsymbol{\pi}^T \Delta \mathbf{X} \sim \mathbf{N} \Big( T \boldsymbol{\pi}^T \mathbf{J}_f \big( \mathbf{Z}(0) \big) \boldsymbol{\mu}, T \boldsymbol{\pi}^T \mathbf{J}_f \big( \mathbf{Z}(0) \big) \boldsymbol{\Sigma} \mathbf{J}_f \big( \mathbf{Z}(0) \big)^T \boldsymbol{\pi} \Big).$$

Zusammen mit (10) erhält man für den Value-at-Risk von  $\pi^T \Delta X$  den Ausdruck:

$$VaR_q(\boldsymbol{\pi}^T \Delta \mathbf{X}) = T \boldsymbol{\pi}^T \mathbf{J}_f(\mathbf{Z}(0)) \boldsymbol{\mu} + \sqrt{T \boldsymbol{\pi}^T \mathbf{J}_f(\mathbf{Z}(0)) \boldsymbol{\Sigma} \mathbf{J}_f(\mathbf{Z}(0))^T \boldsymbol{\pi}} \boldsymbol{\Phi}^{-1}(q)$$

Mit

$$\mathbf{X}(T) = \Delta \mathbf{X} + \mathbf{X}(0)$$

sowie (30) und (28) erhält man für die Verteilung des Vektors  $\mathbf{X}(T)$  mit den Werten der n Finanztitel zum Zeitpunkt T:

$$\mathbf{X}(T) \sim \mathbf{N} \Big( T \mathbf{J}_f \big( \mathbf{Z}(0) \big) \boldsymbol{\mu} + \mathbf{X}(0), T \mathbf{J}_f \big( \mathbf{Z}(0) \big) \boldsymbol{\Sigma} \mathbf{J}_f \big( \mathbf{Z}(0) \big)^T \Big)$$



## 2.7 Delta-Normal-Methode

Durch erneute Anwendung von (28) erhält man, dass die Verteilung des Portfoliowerts  $\pi^T \mathbf{X}(T)$  zum Zeitpunkt t = T durch

$$\boxed{\boldsymbol{\pi}^{T} \mathbf{X}(T) \sim \mathbf{N} \left( T \boldsymbol{\pi}^{T} \mathbf{J}_{f} \left( \mathbf{Z}(0) \right) \boldsymbol{\mu} + \boldsymbol{\pi}^{T} \mathbf{X}(0), T \boldsymbol{\pi}^{T} \mathbf{J}_{f} \left( \mathbf{Z}(0) \right) \boldsymbol{\Sigma} \, \mathbf{J}_{f} \left( \mathbf{Z}(0) \right)^{T} \boldsymbol{\pi} \right)} \tag{31}$$

gegeben ist. Der Value-at-Risk des Portfoliowerts  $\pi^T \mathbf{X}(T)$  beträgt somit:

$$\operatorname{VaR}_{q}\left(\boldsymbol{\pi}^{T}\mathbf{X}(T)\right) = T\boldsymbol{\pi}^{T}\mathbf{J}_{f}\left(\mathbf{Z}(0)\right)\boldsymbol{\mu} + \boldsymbol{\pi}^{T}\mathbf{X}(0) + \sqrt{T\boldsymbol{\pi}^{T}\mathbf{J}_{f}\left(\mathbf{Z}(0)\right)}\boldsymbol{\Sigma}\mathbf{J}_{f}\left(\mathbf{Z}(0)\right)^{T}\boldsymbol{\pi}\Phi^{-1}(q)$$

Die Delta-Normal-Methode weist für den praktischen Einsatz eine Reihe von Vorzügen auf:

- a) Für die Anwendung der Delta-Normal-Methode werden nur der Erwartungswertvektor  $\mu$ , die Varianz-Kovarianz-Matrix  $\Sigma$ , der Zeithorizont T, die Sensitivitäten  $\frac{\partial f_i(Z_k(0))}{\partial Z_k}$  und die Portfolioanteile  $\pi_i$  benötigt.
- b) Unter den Annahmen der Delta-Normal-Methode ist der Value-at-Risk zum Sicherheitsniveaus  $q \in [0,5;1)$  kohärent (vgl. letzter Satz in Abschnitt 2.4).
- c) Der Value-at-Risk kann sehr leicht bzgl. unterschiedlich langer Betrachtungszeiträume [0, T] skaliert werden.

©2025 M. Merz • Universität Hamburg • Quantitatives Risikomanagement 1 • Kapitel 2 • 93

## Beispiel (Delta-Normal-Methode)

Im Folgenden sei  $\mathscr{P}$  ein Portfolio aus drei Zero-Bonds mit dem Nominalwert  $\in$  1'000'000, den Laufzeiten j = 1, 2, 3 und den Anteilen  $\pi = (1, 1, -2)^T$ . Die Risikofaktoren  $Z_i(t)$  der drei Finanztitel sind gegeben durch die zum Zeitpunkt t gültigen j-jährigen logarithmierten Renditen  $R_i(t)$ . D.h. es gilt  $Z_i(t) := \ln(R_i(t))$ .



Die Werte der drei Finanztitel j = 1, 2, 3 zum Zeitpunkt  $t \in [0, T]$  sind gegeben durch

$$X_j(t) = f_j(\mathbf{Z}(t)) = 1000000 \exp(-R_j(t)(j-t))$$
  
= 1000000 \exp(-e^{Z\_j(t)}(j-t))

und der Wert des Portfolios zum Zeitpunkt  $t \in [0, T]$  beträgt somit

$$\boldsymbol{\pi}^T \mathbf{X}(t) = \sum_{j=1}^3 \pi_j X_j(t) = 1000000 \sum_{j=1}^3 \pi_j \exp(-R_j(t)(j-t)).$$

Für die j-jährigen Renditen  $R_i(t)$  zum Zeitpunkt t = 0 gelte

$$R_1(0) = 0.023$$
,  $R_2(0) = 0.028$  und  $R_3(0) = 0.032$ .



## Beispiel (Fortsetzung)

Die Komponenten des Vektors  $\Delta \mathbf{Z} = (\Delta Z_1, \Delta Z_2, \Delta Z_3)^T$  sind gegeben durch

$$\Delta Z_j := Z_j(T) - Z_j(0)$$

$$= \ln(R_j(T)) - \ln(R_j(0))$$

$$= \ln\left(\frac{R_j(T)}{R_j(0)}\right). \tag{32}$$

Dabei sei  $T := \frac{1}{250}$  Jahr (entspricht einem Geschäftstag). Für die Deltas  $\Delta Z_1, \Delta Z_2, \Delta Z_3$ werde angenommen, dass sie näherungsweise Normal-verteilt sind. Genauer gelte

$$\Delta \mathbf{Z} \sim N(\mathbf{0}, T\mathbf{\Sigma}),$$

wobei die Varianz-Kovarianz-Matrix  $\Sigma$  gegeben ist durch

$$\boldsymbol{\Sigma} := \begin{pmatrix} 0.01 & 0.0096 & 0.0091 \\ 0.0096 & 0.0144 & 0.0125 \\ 0.0091 & 0.0125 & 0.0169 \end{pmatrix}.$$





## Beispiel (Fortsetzung)

Für die Sensitivitäten erhält man nach kurzer Rechnung

$$\frac{\partial f_j(\mathbf{Z}(0))}{\partial Z_j} = -R_j(0)jX_j(0) \quad \text{für } j=1,2,3 \qquad \text{und} \qquad \frac{\partial f_j(\mathbf{Z}(0))}{\partial Z_k} = 0 \quad \text{für } j \neq k.$$

Damit erhält man für die Gradienten

$$\operatorname{grad} f_1(\mathbf{Z}(0)) = \left(-R_1(0)X_1(0), 0, 0\right) = \left(-22477, 0, 0\right)$$
$$\operatorname{grad} f_2(\mathbf{Z}(0)) = \left(0, -2R_2(0)X_2(0), 0\right) = \left(0, -52950, 0\right)$$
$$\operatorname{grad} f_3(\mathbf{Z}(0)) = \left(0, 0, -3R_3(0)X_3(0)\right) = \left(0, 0, -87213\right)$$

und somit die Jacobi-Matrix

$$\mathbf{J}_f(\mathbf{Z}(0)) = \begin{pmatrix} -22477 & 0 & 0\\ 0 & -52950 & 0\\ 0 & 0 & -87213 \end{pmatrix}.$$

Für den Erwartungswert und die Standardabweichung (Volatilität) des Portfoliowertes  $\pi^T \mathbf{X}(T)$  zum Zeitpunkt T erhält man mit (31) für  $\mu = \mathbf{0}$ :



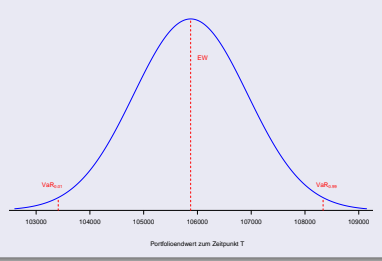
## Beispiel (Fortsetzung)

$$\mathbb{E}\left[\boldsymbol{\pi}^{T}\mathbf{X}(T)\right] = \boldsymbol{\pi}^{T}\mathbf{X}(0) = 105874$$

$$\sqrt{\operatorname{Var}(\boldsymbol{\pi}^{T}\mathbf{X}(T))} = \sqrt{T\boldsymbol{\pi}^{T}\mathbf{J}_{f}(\mathbf{Z}(0))\boldsymbol{\Sigma}\mathbf{J}_{f}(\mathbf{Z}(0))^{T}\boldsymbol{\pi}} = 1058,67.$$

Der Value-at-Risk zum Sicherheitsniveau 1% und 99% ist gegeben durch:

$$\begin{aligned} & \text{VaR}_{1\%} \left( \boldsymbol{\pi}^T \mathbf{X}(T) \right) = 105874 + 1058,67 \, \Phi^{-1}(0,01) = 103411 \\ & \text{VaR}_{99\%} \left( \boldsymbol{\pi}^T \mathbf{X}(T) \right) = 105874 + 1058,67 \, \Phi^{-1}(0,99) = 108337 \end{aligned}$$





# Abschnitt 2.8 Literatur



#### 2.8 Literatur





BÄUERLE, N., MUNDT, A. (2005). *Risikomanagement*. Verlag Versicherungswirtschaft GmbH.

DELBEAN, F. (2000). Coherent Risk Measures. Cattedra Galileiana. Pisa.

DENUIT, M., DHAENE, J., GOOVAERTS, M., KAAS, R. (2005). Actuarial Theory for Dependent Risks: Measures, Orders and Models. Wiley.

GEORGII, H.-O. (2002). Stochastik: Einführung in die Wahrscheinlichkeitstheorie und Statistik. De Gruyter.

#### 2.8 Literatur





MCNEIL, A. J., FREY, R., EMBRECHTS, P. (2005). *Quantitative Risk Management: Concepts, Techniques and Tools*. Princeton Press.

YAARI, M. (1987). *The Dual Theory of Choice under Risk*. Econometrica, 55/1, p. 95–115.

ROCKAFELLAR, R. T., URYASEV, S. (2002). *Conditional value-at-risk for general loss distributions*. Journal of Banking & Finance, 26, p. 1443–1471.